

doi: 10.14735/amcsnn2018378

Detekce nestabilního karotického plátu v prevenci ischemické cévní mozkové příhody

Detection of unstable carotid plaque in ischemic stroke prevention

Souhrn

Aterosklerotická stenóza karotidy je známý rizikový faktor ischemické CMP nebo tranzitorní ischemické ataky. Změny v aterosklerotickém plátu typu krvácení do plátu, neovaskularizace, velký podíl lipidů, tenká nebo prasklá fibrózní čepička či zánět hrají pravděpodobně významnou roli v nestabilitě plátu a jsou spojeny s vyšším rizikem ischemické CMP. V současnosti neexistuje modalita, která by byla schopna současně přesně změřit stupeň stenózy a spolehlivě detekovat nestabilní aterosklerotický plát. K přesné a detailní analýze morfologie plátu je potřeba využít kombinaci jednotlivých metod. CT je široce dostupná a často první zobrazovací metoda plátu se schopností detekovat kalcifikace, ulceraci plátu a stupeň stenózy. Nicméně rozlišení mezi kumulací lipidů a krvácením do plátu je nízké. MR má schopnost rozpoznat většinu nestabilních morfologických znaků plátu, ale časová náročnost, pohybové artefakty a absence unifikovaných protokolů jsou komplikací pro širší použití. PET je efektivní nástroj k detekci metabolických procesů v plátu, zejména zánětu, ale prostorové rozlišení je nepřesné. Ultrazvuk je široce dostupná a levná metoda k monitoringu vývoje plátu, zejména za použití 3D módu, ale pro rozlišení jednotlivých znaků plátu je suboptimální. Budoucí vývoj ultrazvukových metod, např. počítačová analýza škály sedí a kontrastní ultrazvuk však výhledově potenciál ultrazvuku významně zlepšuje.

Abstract

Atherosclerotic carotid stenosis is a well-known risk factor for ischemic stroke or transient ischaemic attack. Atherosclerotic plaque features, such as intraplaque hemorrhage, neovascularization, large lipid core, thin or ruptured fibrous cap or inflammation seem to play an important role in plaque instability and are related to higher risk of ischaemic stroke. At present, no single modality is able to accurately measure the degree of stenosis and to detect all vulnerable plaque features simultaneously. For accurate and detailed analysis of plaque morphology, the combination of particular methods should be used. CT is widely available and often the first imaging modality used, with the strength to detect plaque calcifications, ulceration and degree of stenosis but differentiation between lipid pools and intraplaque hemorrhage is low. MRI can identify most of the plaque's unstable features but time constraints, movement artifacts and absence of a unified procedure are complications for wider use. PET is an effective tool to detect metabolic processes in plaque mainly due to inflammation but spatial resolution is imprecise. Ultrasound is a widely available, low-cost tool for monitoring plaque development especially if 3D mode is applied, but for plaque characteristic differentiation, it is suboptimal. Future development of ultrasound methods, i.e. computerized analysis of Gray scale and contrast enhancement improves the ultrasound's potential significantly.

Práce byla podpořena granty AZV MZ ČR č. 16-29148A, 16-30965A a 17-31016A.

Autor deklaruje, že v souvislosti s předmětem studie nemá žádné komerční zájmy.

The author declares he has no potential conflicts of interest concerning drugs, products, or services used in the study.

Redakční rada potvrzuje, že rukopis práce splnil ICMJE kritéria pro publikace zasílané do biomedicínských časopisů.

The Editorial Board declares that the manuscript met the ICMJE "uniform requirements" for biomedical papers.

P. Kešnerová^{1,2}, D. Vizslayová³⁻⁵, D. Školoudík^{2,6}

¹ Neurologická klinika 2. LF UK a FN Motol, Praha

² Neurologická klinika 1. LF UK a VFN v Praze

³ Neurologická klinika FN a FSVaZ UKF, Nitra

⁴ Neurologická klinika LF UP, Olomouc

⁵ Neurologická klinika LF UK, Hradec Králové

⁶ Centrum vědy a výzkumu, Fakulta zdravotnických věd, UP Olomouc



MUDr. Petra Kešnerová
Neurologická klinika 2. LF UK
a FN Motol
V Úvalu 84
150 06 Praha 5
e-mail: kesnerova.petra@gmail.com

Přijato k recenzi: 18. 4. 2018

Přijato do tisku: 25. 6. 2018

Klíčová slova

ateroskleróza – nestabilní plát – karotická tepna – iktus – ultrazvuk

Key words

atherosclerosis – unstable plaque – carotid artery – stroke – ultrasound

Úvod

Ateroskleróza karotické tepny je častá a relativně dobře známá příčina CMP a představuje jeden z hlavních cílů prevence iktu [1]. Ateromové pláty v karotických arteriích přispívají různým mechanismem minimálně k 10–30 % všech ischemických CMP a tranzitorních ischemických atak (TIA). V současnosti, kromě klinických symptomů, je tíže karotické stenózy hlavním parametrem ovlivňujícím pacientovu léčbu, a to včetně rozhodnutí o intervenčním řešení. Toto paradigma, jež je užíváno po desetiletí, bylo již v minulosti mnohokrát zpochybňováno a přibývají důkazy, že složení a charakter karotického plátu hrají klíčovou roli v jeho stabilitě a riziku vzniku ipsilaterální CMP [1].

V posledních dekádách bylo diagnostické úsilí cíleno především na metody zjišťující procento stenózy se zhodnocením přesnosti diagnostiky. Úspěch v kvantifikaci stenózy však ozřejmil, že zúžení cévy není jediným rizikovým faktorem iktu a že mezi procentem karotické stenózy a rizikem ipsilaterálního iktu není lineární závislost, a to zejména u asymptomatických stenóz [1].

Současná doporučení na podkladě rozsáhlých studií dávají přednost intervenční léčbě především u těžké symptomatické stenózy (nad 70 %), u vybraných pacientů lze indikovat intervence také u stenózy nad 50 % [2]. Vyšší riziko CMP se však vyskytuje i u méně významných stenóz, mnohdy pod 50 % [3]. Naopak mnoho pacientů s asymptomatickou stenózou vysokého stupně nedostane iktus ani po dlouhé době sledování. Zde může hrát významnou roli kromě patofyziologie vývoje stenózy a rozvoje kolaterálního řečiště také medikamentózní léčba, tzv. best medical treatment (BMT) [4].

Díky tomu dlouhodobě narůstá zájem o nové diagnostické metody s možností detekce vysoce rizikového (nestabilního) karotického plátu [5,6]. Tento zájem vedl k detailnějšímu prozkoumání povrchu plátu a jeho objemu s cílem změřit plát jako celek, což znamená i kvantifikaci plátu a nejen ohodnocení stupně stenózy, tedy pouze změření nejúžší části lumina cévy. Nemale úsilí bylo zaměřeno na analýzu složení plátu odhalující charakteristiky plátu, které mohou znamenat zranitelnost či nestabilitu plátu a znamenají tak rovněž kvalitativní ohodnocení plátu.

Definovat „vulnerabilní“ či „nestabilní“ plát bylo předmětem mnoha vědeckých aktivit. Histologické nálezy z aterosklerotických plátů získaných při karotické endarterektomii (CEA) byly analyzovány a následně po-

rovňávány se vzorky z předchozích *in vivo* provedených zobrazovacích metod. Navzdory nezpochybnitelnému úspěchu v definování určitých rizikových znaků plátu si musíme uvědomit, že důležitá data postrádáme, jelikož získané vzorky jsou především od symptomatických pacientů se středním až těžkým stupněm stenózy. A to s celkem variabilním intervalem mezi chirurgickým odstraněním plátu a ischemickou událostí, která může velmi významně ovlivnit výsledek histopatologického nálezu [7].

V současnosti již jsou identifikovány první morfologické charakteristiky vysoce rizikového plátu v karotidě. Jedná se především o ulcerace povrchu plátu, na lipidy bohatou nekrotickou oblast (lipid rich necrotic core; LRNC), zúženou nebo prasklou fibrózní čepičku (fibrous cap; FC), krvácení do plátu (intraplaque haemorrhage; IPH), neovaskularizaci plátu (intraplaque neovascularization; IPN) a zánětlivé změny [8–11].

Jako významné faktory progresu aterosklerotického plátu byly identifikovány tíže (procento) stenózy, tandemová stenóza, progresse celkové plochy plátu (total plaque area; TPA), resp. celkového objemu plátu (total plaque volume; TPV) [12–15].

Při hodnocení celkového rizikového potenciálu plátu je potřeba také zahrnout jeho emboligenní potenciál prostřednictvím detekce mikroembolických signálů při transkraniálním dopplerovském monitoringu (TCD) [16,17] a zobrazením ischemických ložisek mozku jako známk embolizace do mozkových tepen [18,19].

Detekce znaků nestability aterosklerotického plátu lze využít při identifikaci etiologie ischemické CMP. Největší význam je zde u kryptogenních CMP, jejichž incidence se odhaduje až na 30 % všech ischemických CMP. Lze předpokládat, že část těchto iktů by mohla být přisouzena nestenózujícímu karotickému onemocnění s přítomností nestabilního plátu. Pilotní studie ukazují, že by to mohla být až jedna třetina všech kryptogenních ischemických iktů. Nicméně je potřeba vyčkat výsledků velkých multicentrických studií, které by měly tuto hypotézu verifikovat [20,21].

Detekce nestabilních znaků plátu, vývoj plátu v čase stejně jako jeho emboligenní potenciál jsou cílem diagnostického úsilí k odhalení potenciálně nestabilního stadia plátu, které by optimálně vedlo ke změně terapie s cílem stabilizovat nebo eliminovat takový plát a tím předcházet riziku iktu. Metody, dostupné v dnešní klinické praxi mají

rozdílný potenciál odhalit jednotlivé známky nestability. V této práci poskytujeme přehled těch, které se používají rutinně: CT, MR, ultrazvuk (US) a jeho rozličné modalitty – dvou-dimenzionální (2D) a třídídimenzionální (3D) US, vyšetření s echokonstrastem (contrast enhanced ultrasound, CEUS), a dále TCD a PET. U každé metody uvádíme specifikace diagnostických výhod a limitaci každé z nich v detekci nestabilních znaků plátu a rovněž v monitoringu dynamiky plátu. K poskytnutí komplexního přehledu zobrazovacích metod aterosklerotického karotického onemocnění se okrajově zmiňujeme o některých z experimentálních metod. Těmi jsou intravaskulární US (IVUS), optická koherenční tomografie (OCT), mikrooptická koherenční tomografie (μ OCT) a blízká infračervená spektroskopie (near infrared spectroscopy; NIRS).

Detailní analýza karotického plátu by následně mohla pomoci optimalizovat terapeutický přístup u pacientů s aterosklerotickým postižením karotidy, zpřesnit selekci pacientů vhodných pro karotickou revascularizaci a identifikovat pacienty, u kterých by byla indikována změna konzervativní léčby – nasazení nebo eskalace terapie [6].

Počítačová tomografie Technické provedení

K detekci plátu se užívají dvě základní techniky CTA: konvenční jednozdrojová CT (rovněž zvaná multidetektorová CT; MDCT) a dvouzdrojová CT (dual source CT; DSCT). Společné pro obě techniky je nezbytnost podání jodové kontrastní látky, aby došlo k dostatečné vizualizaci plátu a použití rentgenového záření, jehož atenuace je kvantifikována v Hounsfieldových jednotkách (HU). Výsledný obraz je reprezentován ve stupnici šedi. Rozdíl metod je v energii a počtu užívaných zářičů a rovněž v postprocedurálním zpracování obrazu.

Při konvenční CT jeden zdroj rentgenového záření poskytuje reprezentaci objektů na podkladě lineárního atenuačního koeficientu každé z anatomických struktur a je nezávislá na materiálové denzitě a hmotnostním koeficientu útlu. Toto představuje limitaci pro tkáňovou specifikaci. Na dvouzdrojovém CT dosahujeme dvou rozdílných HU z jedné anatomické struktury tím, že jsou aplikovány dvě odlišné energie rentgenového záření, které vedou k energeticky dependentním změnám v atenuaci různých tkání. Rozlišení tkání je tedy daleko detailnější, jelikož atenuační rozdíl mezi vysoko-

a nízkodávkovým zdrojem záření odhaluje více nuancí v tkáňové charakteristice. Typickým příkladem je rozlišení mezi reziduem jodového kontrastu a kalcia, který nemusí být snadno rozpoznatelný na konvenční CT, jelikož při tomto vykazují obě složky stejnou atenuaci. Na duální CT však získáme atenuační rozdíl, jelikož atenuace jodu stoupá rychleji než atenuace kalcia. Tento princip umožňuje lepší rozlišení zobrazených struktur. Další velkou výhodou DSCT je subtrakce kostní tkáně, která poskytuje lepší zobrazení vaskulatury [22].

Obě CT modalita dovolují multiplanární rekonstrukce ve všech třech rovinách, vysoké prostorové rozlišení a přesnou identifikaci plátu, a to zejména pokud je použit bolus kontrastní látky [23].

Výpočetně tomografická angiografie není jediná rentgenová metoda, která se k zobrazení aterosklerotického postižení tepen používá. Dlouhodobě zlatým standardem je digitální subtrakční angiografie (DSA). Nicméně, navzdory častému využití při cerebrovaskulárním zobrazování je samotná vizualizace plátu limitována na povrchové irregularity a kvantifikaci stupně stenózy. V tomto bodě však poskytuje stejné informace i konvenční CT a je vhodnější na skrínění [24]. DSA nezobrazuje detailně morfologii plátu, je limitována 2D zobrazením a v detekci vulnerabilního plátu je to spíše marginální metoda, taktéž pro svou časovou a rentgenovou zátěž.

Detekce nestabilního plátu

Výpočetně tomografická angiografie je dobře ověřená metoda ke zhodnocení stupně karotické stenózy se schopností zobrazit všechny cévy aortálního oblouku. A to zejména intrakraniální cirkulaci, vč. tortuozit a jiných anatomických abnormalit. Co se týče zobrazování struktury karotického plátu, výzkum možností CT je nyní na vzestupu, zejména díky jeho široké dostupnosti v rutinní praxi. Považuje se za velice senzitivní metodu k detekci kalcifikací [25], které jsou zobrazitelné jako vysoce denzitní signály uvnitř plátu. V současnosti se považuje kalcifikovaný plát za relativně stabilní, nicméně chybí prospektivní studie k potvrzení této hypotézy. MDCT je schopna spolehlivě detekovat kalcifikace s průměrnou hodnotou 250 HU, pro rozlišení od jodového kontrastu lze využít DSCT, jak je popsáno výše [22].

Velmi dobré výsledky CTA jsou při detekci povrchových ulcerací nad 1 mm [26], kde CT dobře koreluje s DSA. MDCT dete-

kuje ulcerace se střední až dobrou senzitivitou (60–94 %) i specifivitou (70–99 %), pokud byly tyto srovnávány s histologickým nálezem [27].

Porušená FC bývá dávana do souvislosti s vulnerabilním charakterem plátu a lze ji detekovat jako kontrastní sycení v oblastech nerovností povrchu. Ve studii autorů Saba et al byla potvrzena signifikantní asociace mezi porušenou FC a kontrastním sycením nerovností plátu ($\kappa = 0,855$) [25,28].

Co se týče dalších charakteristik plátu, IPH, neovaskularizace, LRNC a fibrózní tkáň jsou detekovatelné jako struktury s nízkou denzitou. Dochází zde ale k významnému překryvu mezi těmito hypodenzními strukturami, což limituje využití této metody v analýze plátu. Nicméně, CTA ukazuje signifikantní dobrou korelaci s histologickými nálezy u velkých lipidových okrsků ($\kappa = 0,796$) a velkých hemoragií ($\kappa = 0,72$) [25] s vysokou interobservační shodou. V principu můžeme říci, že čím je nižší denzita plátu, tím je pravděpodobně menší jeho stabilita. Dynamické kontrastní zobrazení se zdá být velmi přínosnou technikou k ohodnocení stability na MDCTA. Zvýšení denzity v HU od brzké do pozdní fáze značí stabilitu plátu s větším množstvím fibrózní tkáně a menším podílem lipidů, IPH a neovaskularizací [23], pravděpodobně v důsledku rychlejšího vymytí z plátu.

Limitace metody

Dvě hlavní nevýhody provází CT vyšetření: 1. potřeba podání intravenózní kontrastní látky s jodem s potenciální možností alergické reakce a nefrotoxicity; 2. expozice rentgenovému záření. Při analýze plátu dále plynou limitace z artefaktů na podkladě přítomnosti kalcifikací a nedostatečného rozlišení jednotlivých hypodenzních struktur, zejména u menších IPH, LRNC a fibrózní tkáně [25]. CT je tedy velmi dobrá diagnostická metoda akutní fáze, s přihlédnutím k existujícím limitacím při analýze nestabilního plátu. Navzdory některým studiím, které využily MDCT jako monitorovacího nástroje k dlouhodobému sledování vývoje plátu [29], z důvodů zmíněných limitací CT za rutinní monitorovací metodu ke sledování dynamiky plátu nepovažujeme.

Směrování dalšího výzkumu

Dvouzdrojová CT s kostní subtrakcí se jeví jako slibná metoda k rozlišení měkkých tkání. Zahnutí kontrastního sycení do protokolů

by bylo malým krokem navíc v běžném vyšetřovacím CT procesu, jež by přineslo cenné informace o charakteru plátu. MDCT 3D geometrickým zobrazováním může přinést nové informace o různých hemodynamických faktorech, např. o tzv. shear stress (střížná síla, smykové napětí), jež se jeví jako další významný faktor v dynamice vývoje plátu. Informací o jeho patofyziologickém mechanismu však není mnoho [27].

Magnetická rezonance Technické provedení

Magnetická rezonance je často považována za zlatý standard a v analýze aterosklerotického plátu hraje důležitou roli. Dobrá senzitivita i specifita metody v hodnocení morfologie plátu, jeho složení a objemu je známa. V detekci nestabilních známek plátu se doporučuje několik různých sekvencí. Nejčastěji užívané jsou T1 vážené a T2 vážené fast spin-echo (FSE) sekvence a proton denzitně vážené (PDW) obrazy. Tyto techniky jsou vynikající svým vysokým prostorovým rozlišením. Sekvence double inversion recovery, rovněž nazývaná „black blood imaging“ poskytuje vysoký kontrast mezi stěnou cévy a lumen. Ve všech těchto modalitách dosahujeme vysokého signal-to-noise ratio, ovšem za cenu prodloužených skenovacích časů a dochází k výskytu pohybových artefaktů [26].

Zobrazení MR může být ovlivněno změnou nastavení a v zájmu zkrácení skenovacího času jsou aplikovány různé techniky. Pro všechny sekvence je využívána technika suprese tukové tkáně, aby se maximálně eliminovaly signály z podkožního tuku a také aby se usnadnilo rozlišení mezi LRNC a IPH [30].

Kontrastní MR (contrast enhanced, CE) pomůže zobrazit některé komponenty plátu přesněji a nejčastěji jsou užívány cheláty gadolinia (Gd). Na T1 vážených skenech lze rozlišit mezi vaskulárními okrsky sycenými kontrastem, např. fibrózní tkání, od neovaskularizovaných, jako jsou např. LRNC, IPH a trombus, ovšem mechanismus sycení Gd v karotickém plátu je komplexní.

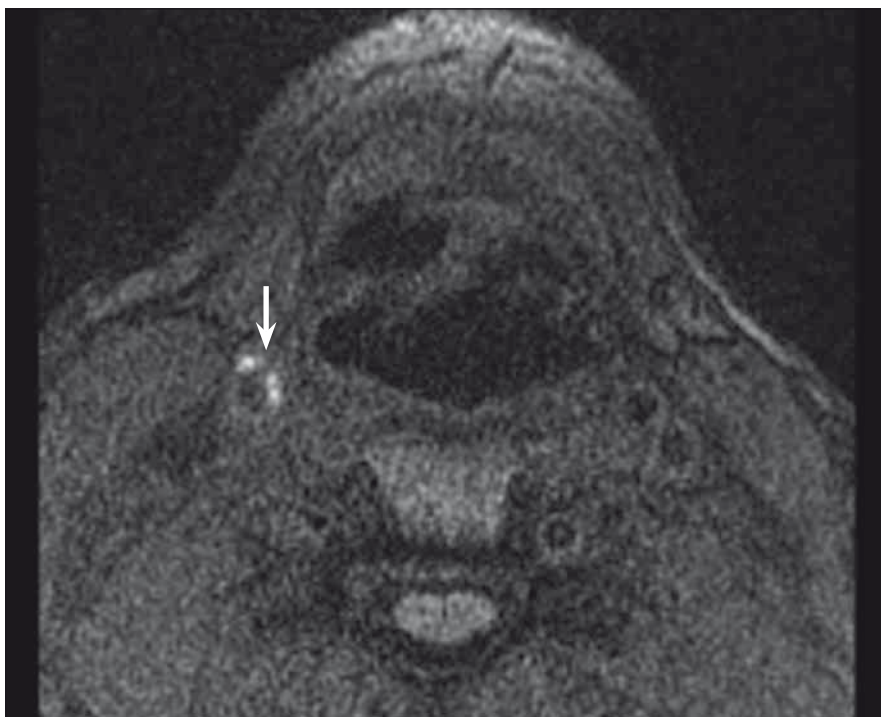
Gd, jak známo, se distribuuje v extracelulárním extravaskulárním prostoru. Tedy vyšší sycení může být díky zvýšené perfuzi a permeabilitě, zvětšenému extracelulárnímu volumu anebo sníženému vymývání kontrastu z plátu a v karotických plátech je nepřímě přisuzováno patofyziologickým procesům, jako jsou neovaskularizace, zánět či reorganizace složení cévní stěny [31].

Detekce nestabilního plátu

Značný potenciál MR v diagnostice nestabilního plátu byl potvrzen v mnoha studiích. Vysoký kontrast měkkých tkání, reproduci-bilita a vysoká interobservační shoda zajišťují této neinvazivní diagnostické metodě významnou pozici v analýze složení plátu. Jedna z nejvíce prozkoumaných kompo-nent plátu je nepochybně IPH. Bývá deteko-váno se senzitivitou 82–92 % a specifitou 74–100 % [32,33]. Kombinace T1, T2 vážených a PDW obrazů pomáhá určit stáří trombu. Čerstvé IPH je hyperintenzní v T1 vážených a hypointenzní nebo izointenzní v T2 vá-žených a PDW sekvencích. Recentní IPH (1–6 týdnů) je hyperintenzní na všech zmíněných zobrazeních (obr. 1, 2) a starší IPH (≥ 6 týdnů) je ve všech těchto zobrazeních hypointenzní. Byla nalezena silná korelace mezi symptomy mozkové ischemie a pří-tomností IPH bez ohledu na stupeň ste-nózy [3] s hazard ratio od 4,59 (95% CI 2,91–7,24) [15] do 9,8 (95% CI 1,3–75,1; $p = 0,03$) [34].

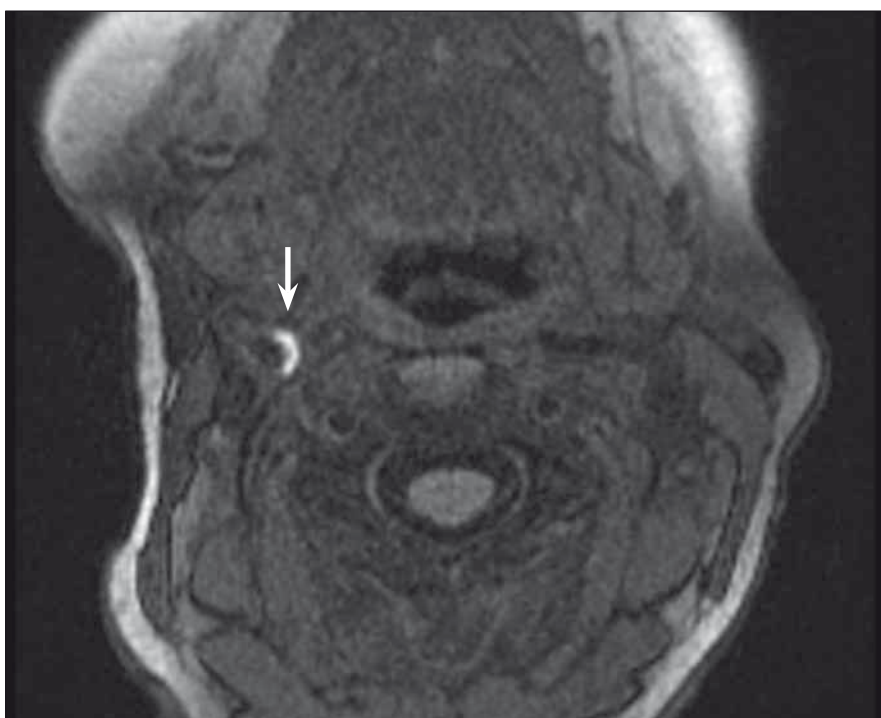
Odlišení IPH od LRNC je rovněž domi-nantou této metody. LRNC lze detekovat na MR se senzitivitou 82–100 % a specifitou 40–100 % [27,33]. Jelikož IPH je často roz-pítleno v rámci lipidových okrsků, je nutná kombinace sekvencí k odlišení těchto dvou patologií – zatímco IPH je hyperintenzní v T1 vážených a time-of-flight (TOF) sekvencích, LRNC je hyperintenzní jen v T1 vá-žených a izointenzní na TOF obrazech [35]. Nejen detekování LRNC v plátu, ale rovněž její kvantifikace má pravděpodobně důležitý klinický efekt, neboť vzrůstající objem lipido-vých okrsků může vyústit v budoucí rupturu povrchu, jak se zjistilo u středně významné karotické stenózy [36]. Silná korelace mezi IPH a LRNC s histopatologickými nálezy byla potvrzena [33,35].

Neovaskularizace a zánět jsou dvě entity asociované s nestabilitou plátu a jsou dete-kovatelné v CE T1 vážených sekvencích s pre-valencí neovaskularizace až 97 % a zánětu až 87 % [31]. Chan et al se zaměřili na zhod-nocení stupně zánětlivého procesu v plátu za použití protilátky konjugované se super-paramagnetickými částicemi oxidu železa (superparamagnetic iron oxide particles; SPIO) a symptomatické pláty byly odlišeny od asymptomatických dle stupně zánětu. V této malé studii kontrastní syčení na MR vý-znamně korelovalo se stupněm zánětu plátu ($r = 0,64$; $p < 0,001$) [37]. Dynamická CE MR byla použita ke kvantifikaci syčení v plátu od-povídající neovaskularizaci a zánětu, přičemž byla potvrzena signifikantní korelace [38].



Obr. 1. MR – hyperintenzní část (šipka) karotického plátu odpovídající krvácení do plátu.

Fig. 1. MRI – hyperintense part (arrow) of carotid plaque corresponding to intraplaque hemorrhage.



Obr. 2. MR – hyperintenzní část (šipka) karotického plátu odpovídající krvácení do plátu.

Fig. 2. MRI – hyperintense part (arrow) of carotid plaque corresponding to intraplaque hemorrhage.

MR je také velmi dobrá metoda k detekci ulcerace plátu v angiografickém módu (MRA), kde se ulcerace zobrazují jako povr-

chové nerovnosti a přidání black-blood MRA pomohlo dosáhnout senzitivity MR 80 % a specifity 70 % [36].

Fibrózní povrch se zobrazuje jako hypointenzní lineární struktura v T1, T2 vážených a PDW sekvencích a její absence značí buďto ztenčení nebo rupturu fibrinového povrchu plátu [32].

Kalcifikace se zobrazují hypointenzně na všech kontrastně vážených skenech a mohou být pomocí MR detekovány s vysokou senzitivitou a specifitou [32,35].

Zobrazování plátu pomocí MR prokázalo schopnost identifikovat vysoce rizikové pláty u jak symptomatických tak u asymptomatických pacientů nezávisle na stupni stenózy [15] a mohlo by tak zlepšit stratifikaci pacientů se zvýšeným rizikem budoucích cerebrovaskulárních ipsilaterálních ischemických událostí [39].

Nepopiratelnou výhodou MR metody je také fakt, že mozková tkáň může být zhodnocena ve stejné době jako vyšetření plátu. U nestabilních plátů, zejména s přítomností IPH, byla nalezena silná asociace s lézemi bílé hmoty u symptomatické karotické stenózy [40]. Vliv nestabilního plátu na mozkovou tkáň může být ohodnocen při současně provedeném skenu mozku. Esposito-Bauer navrhl kategorizaci plátu dle MR nálezů a vysoce rizikové pláty byly charakterizovány přítomností LRNC, fibrózní tkáň s možnými kalcifikacemi, povrchovými defekty, IPH nebo přítomností trombu, přičemž tyto typy plátů byly spojeny se zvýšeným rizikem iktu [39].

Limitace metody

Významnými nevýhodami MR jsou dlouhé vyšetřovací časy, přičemž vybrané sekvence jsou velmi senzitivní na pohybové artefakty. Dále pak vysoká cena za vyšetření a relativně nízká dostupnost, což je ještě více patrné při analýze plátu. Současná klinická praxe neposkytuje specifikované protokoly k MR skenování plátu, a tak jsou tyto dostupné většinou jen ve specializovaných centrech. Automatický software k analýze složení plátu je rovněž nedostupný a díky manuálnímu post-processingu komponent plátu je výsledný popis náchylný k vysoké inter- i intraobservační variabilitě. Proces MR skenování plátu je časově náročný a není pro radiology rutinní záležitostí, což opět vytváří bariéry k zavedení MR do praxe jako běžného rutinního stratifikačního nástroje v analýze plátu [27]. Rovněž na běžně dostupných 1,5T MR přístrojích je rozlišení mezi jednotlivými komponentami plátu spíše výzvou. Aplikace silnějšího magnetického pole je cestou ke zlepšení diagnostické přesnosti a je předmětem výzkumu [32,41].

Směrování dalšího výzkumu

Jak je uvedeno výše, jednou z neoddiskutovatelných výhod MR je její schopnost skenovat více struktur během jednoho vyšetření. Tedy např. kombinace vyšetření mozkové tkáně, plátu i lumen cévy, která může být provedena v budoucnosti v rámci jednoho komplexního neurovizuálního procesu. Recentně byl navržen protokol současně nekontrastní MRA se skenem detekujícím IPH (simultaneous non-contrast angiography and intraplaque haemorrhage; SNAP protocol) k simultánní diagnostice lumenální stenózy a přítomnosti IPH v jedné vyšetřovací době [42].

Zlepšení rozlišení struktur za použití 3T a 7T skenerů [41,43,44] a vývoj automatizovaného software k eliminaci lidské chyby při hodnocení jednotlivých komponent plátu je další cíl mnoha výzkumných aktivit [45].

Nové biomarkery, které cílí na specifické molekuly detekovatelné při transformaci plátu, jako např. při remodelaci u zánětu, jsou také předmětem výzkumu. Funkční molekulární MR sondy jsou testovány a obvykle se skládají z protilátky konjugované se SPIO nebo jiné kontrastní látky a specificky váží molekuly či buněčné komponenty [46], např. fibrin, elastin nebo zánětlivé markery jako jsou např. VCAM-1 nebo E-selectin. Tímto bychom získali možnost detekovat nestabilní známky plátu na molekulární úrovni s velmi vysokým prostorovým rozlišením a rovněž bychom měli možnost kvantifikovat stupeň zánětlivého postižení [37]. Tyto nové postupy v diagnostice aterosklerózy jsou v současné době vyhrazeny pro *ex vivo* zobrazování a k uvedení do klinické praxe je nutný další vývoj.

Pozitronová emisní tomografie

Technické provedení

Pozitronová emisní tomografie je hlavní molekulární zobrazovací technika, neboť jednofotonová emisní výpočetní tomografie (single emission computed tomography; SPECT) má výrazně nižší prostorové rozlišení a při zobrazování plátu není v centru zájmu. Nedostačivé prostorové rozlišení PET, mezi 3 až 5 mm, je korigováno za současného použití hybridní skenerů s CT či v poslední době rovněž s MR [47]. Nejvíce prozkoumaný radionuklidový nosič v diagnostice aterosklerózy je 18-fluorodeoxyglukóza (¹⁸FDG) (fluorodeoxyglukóza; FDG), která je částečně metabolizována v glykolýze a slouží jako marker zánětu nebo hypoxie. Po administraci FDG následně dochází ke skenování, které je provedeno v 60.–90. min. Rozptýl nosiče v krevním oběhu může vyústit ve špatné kontrastní rozlišení pro

tak malou strukturu jako je karotický plát a to tím významněji, čím dříve je zobrazení provedeno. Optimální načasování k vizualizaci plátu je předmětem mnoha debat. V menší studii Blomberg et al zjistili, že opožděné ¹⁸FDG PET/CT zobrazení ve 180. min zlepšuje kvantifikaci zánětu v aterosklerotickém plátu oproti standardně prováděným skenům v 90. min [48]. Reproducibilita metody byla ohodnocena jako velice vysoká s příznivou inter- i intraobservační shodou [49].

Detekce nestabilního plátu

Hlavní výhodou PET proti ostatním existujícím zobrazovacím technikám je potenciál detekovat zánět přímo prostřednictvím FDG. Několik studií zaznamenalo významnou korelaci mezi koncentrací FDG a histopatologickým nálezem infiltrace makrofágů (pláty s vysokým standardized uptake value; SUV) [50,51]. Zvýšený FDG uptake u zánětlivého postižení byl pozitivně asociován s rizikem ischemických CMP nezávisle na stupni stenózy [50,52].

V detekci dalších nestabilních znaků plátu však PET postrádá anatomickou přesnost a její přínos může být v současnosti jen v kombinaci s CT či MR. Korelace s CT i MR nálezy v detekci LRNC, kalcifikací i fibrózní tkáň je však slabá [53] a také nebyla prokázána významnější korelace mezi FDG uptakem a neovaskularizací plátu [29].

Nicméně přínos PET může být v budoucnosti výrazně vyšší, především experimentální, protože metabolismus i patofyziologické procesy v aterosklerotickém plátu mohou být zkoumány *in vivo*. Tato metoda je dobře zavedená a klinicky dostupná.

Limitace metody

Jak již bylo popsáno výše, špatné prostorové rozlišení, neschopnost vizualizovat neovaskularizaci, LRNC, IPH nebo fibrinové defekty jsou významnými limitacemi metody [26]. Vyšetření je drahé, dostupnost PET skenerů je nízká a zátěž radioaktivitou nevyhnutelná. Musí být rovněž započítány i dodatečné kontraindikace a limity plynoucí z CT či MR vyšetření. FDG uptake může navíc ovlivnit i pacientova příprava a dieta. Ke zhodnocení stadia aterosklerózy je potřeba sériové testování. Vystavení radiaci, zejména při PET koregistraci s CT prakticky vylučuje provádění opakovaného zobrazení. Hybridní PET/MR a PET/CT zobrazení také vyžaduje přesnou časovou koregistraci mezi oběma modalitami, speciálně když hodnotíme malé struktury, jako jsou karotické pláty. Pohyby

pacienta mezi detekcemi obrazu mohou vyústit v chybu posunu lokace a tím i v chybnou interpretaci obrazu [47].

Směrování dalšího výzkumu

Kombinace PET s MR se jeví jako možnost v identifikaci některých problematických morfologických znaků plátu a v diagnostice změn stěny cévy [27]. Ve vývoji jsou algoritmy ke snížení dávky radiace umožňující opakované vyšetření.

Pravděpodobně nejvíce studovaným faktorem jsou nové nosiče. Řada jich je testována v procesu vzniku trombózy, neoangiogeneze, lipidové akumulace, mikrokalcifikací a dalších procesů. ^{18}F -sodium fluoride (^{18}F -NaF) byl objeven jako potenciální nástroj k detekci prasklých a vysoce rizikových koronárních plátů a rovněž jako prostředek k detekci mikrokalcifikací. Malá depozita kalcia v rámci plátu mohou signalizovat jeho progresi a stadium náchylné k ruptuře [54]. Jsou však zapotřebí studie se zaměřením na karotické arterie [55]. V non-FDG zobrazení je studován vztah nestabilního plátu náchylného k ruptuře a matrixové metaloproteinázy (MMP) [56]. Další nový biomarker ve studiu nestabilního plátu by mohla být [^{18}F]-galacto-RGD PET/CT se zobrazením $\alpha\text{v}\beta 3$ molekuly. Jelikož tento integrin je exprimován makrofágy a endoteliálními buňkami v průběhu angiogeneze v aterosklerotických lézích, mohl by představovat marker zánětu a neoangiogeneze [57]. PET/CT biomarkery nabízí šanci, jak zhodnotit stadium aterosklerotických lézí a ozřejmit různé aspekty progresu plátu, ale v současnosti jsou tyto nosiče stále ve velmi brzkém stadiu vývoje a širší uplatnění je předmětem budoucího výzkumu [47].

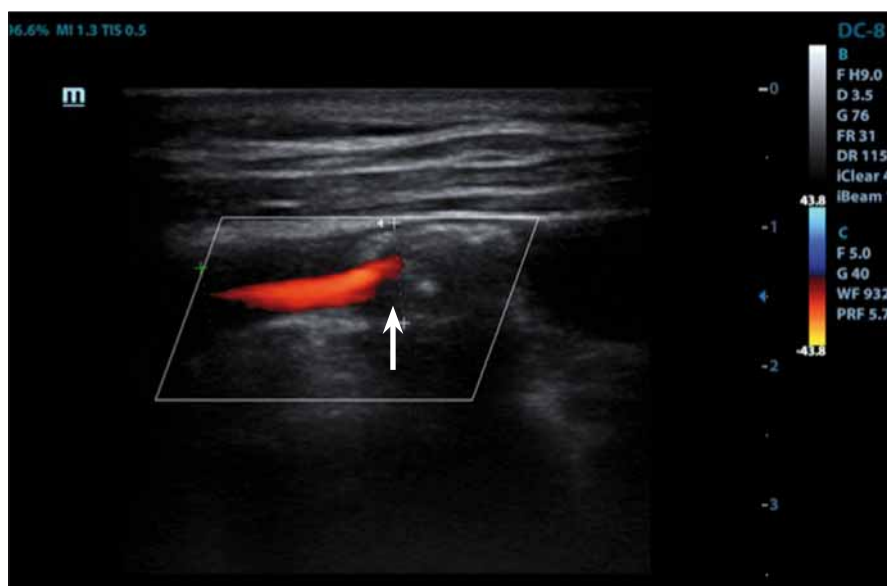
Duplexní sonografie

Technické provedení

Ultrazvuk je pravděpodobně klinicky nejvíce využívaná zobrazovací technika v diagnostice aterosklerotického plátu a je metodou volby pro pravidelný skrínig a úvodní evaluaci aterosklerotického onemocnění karotid. Široká dostupnost, nízká cena a výborná tolerance pacientem bez závažnějších vedlejších efektů jsou neoddiskutovatelné výhody této dlouhodobě zavedené modality [58]. Jedná se o jedinou metodu, která poskytuje zobrazení v reálném čase s možností hodnocení hemodynamických parametrů. Transdukční sondy generují a přijímají US vlnění vznikající v piezoelektrických krystalech, frekvence se obvykle pohybují



Obr. 3. Duplexní sonografie – hypoechogenní část (šipka) odpovídající krvácení do plátu.
Fig. 3. Duplex sonography – hypoechogenic part (arrow) corresponding to intraplaque hemorrhage.



Obr. 4. Duplexní sonografie – hypoechogenní část (šipka) odpovídající krvácení do plátu.
Fig. 4. Duplex sonography – hypoechogenic part (arrow) corresponding to intraplaque hemorrhage.

mezi 4–14 MHz a pro zobrazení karotid jsou nejvhodnější lineární sondy. Zobrazování probíhá v longitudinální a axiální rovině. Existuje několik zobrazovacích technik. Přehled a popis každé z technik je poskytnut ve vztahu k zobrazení nestabilního plátu.

Detekce nestabilního plátu

B-obraz

B-obraz (brightness mód neboli dvoudimenzionální mód) umožňuje vizualizovat

několik anatomických znaků v plátu a v arteriální stěně. B-obraz se primárně užívá k zhodnocení echogenity tkáně a konvenčně je jako referenční hodnota užívána echogenita sternocleidomastoidiálního svalu. Interi intraobservační diskrepance jsou jednou z hlavních limitací této metody a v současnosti jsou testovány různé techniky post-processingu snižující vliv subjektivního hodnocení vyšetřujícím [59]. Cílem metody je odlišit pláty hypoechogenní, asociované

zřejmě s lipidovými okrsky a hemoragickým obsahem, od hyperechogenních, které korespondují s obsahem fibrinu a kalcia a jež jsou považovány za stabilnější.

Gray scale median (GSM) je počítačové měření průměrné echogenity plátu a koreluje negativně s rizikovými faktory pro kardiovaskulární onemocnění. Není jasný konsenzus hraničních hodnot GSM k definici nestabilního plátu díky odlišným softwarovým aplikacím, ale v principu nízké hodnoty korespondují s hypoechogenními pláty [60]. Nízká echogenita je asociována se zvýšeným rizikem ischemických CMP u symptomatických [60] i asymptomatických pacientů s karotickou stenózou a nižší hodnoty GSM jsou spojeny s vyšším rizikem budoucího iktu [61]. Nicméně, jak je zjevné z definice, GSM poskytuje průměrnou hodnotu echogenity plátu a postrádá schopnost ohodnotit jednotlivé histologické komponenty plátu a jejich distribuci [62].

Analýza distribuce pixelů (pixel distribution analysis; PDA) řeší tento problém přiřazením charakteristické echogenity jednotlivým klíčovými komponentám aterosklerotického plátu a mapuje architekturu znaků plátu (LRNC, IPH, kalcia a fibromuskulární tkáň) nejenom lokalizací, ale také jejich velikostí [63]. Toto neinvazivní vyšetření plátu by mohlo mít velmi významný klinický dopad, jelikož velké juxtaluminální tmavé okrsky (juxtaluminal black area; JBA) obsahující lipidy, nekrotické masy nebo mohou být v důsledku přítomnosti trombu, jsou v lineárním vztahu k riziku iktu [64] a tato nestabilní ložiska by mohla být narušena průchodem endovaskulárního katetru [62]. Tento mechanismus by mohl predisponovat k embolizaci v průběhu karotického stentingu (CAS), přičemž vyšší incidence embolizace po CAS ve srovnání s CEA již byla popsána [65].

Podrobnější charakterizace plátu by tedy mohla být užívána při stratifikaci rizika v managementu invazivních procedur [64].

Ve 2D módu se FC zobrazuje jako lineární echogenní struktura na povrchu plátu. Tloušťku FC lze standardně měřit pomocí US, a tím detekovat ztenčení nebo defekt FC, jelikož obě tyto změny patří mezi rizikové faktory iktu. Jako efektivní nástroj pro detekci zúžení FC bylo navrženo měření integrovaného ultrazvukového zpětného rozptylu (integrated ultrasonic backscatter; IBS), neboť IBS byl nižší u tenkých vrstev FC než u těch silných ($-10,9 \pm 6,4$ vs. $-2,4 \pm -6,2$ dB; $p < 0,001$) a byla nalezena také dobrá korelace s histologickými nálezy. Měření IBS může pomoci detekovat zúženou FC jako známku nestability plátu [66].

Ulcerace jsou definovány jako iregularity na povrchu plátu a dle konvenčních kritérií jsou stanoveny jako konkavity větší než 2×2 mm v dobře zobrazitelném ohraničení plátu se zobrazením reverzního toku. Muraki et al navrhli nová, více senzitivní kritéria ulcerací. Jako ulcerace hodnotili konkavitu plátu s méně echogenní bazální hranicí oproti okolnímu povrchu plátu bez ohledu na velikost. Tyto navržené parametry byly porovnány s chirurgickými a histologickými nálezy. Senzitivita a specifita konvenčních kritérií byla 35,7 a 75,0 % oproti 85,7 a 81,3 % u nových kritérií [67]. Přítomnost nerovného plátu byla nezávisle asociována se zvýšeným rizikem ischemické CMP oproti pacientům bez plátu s hazard ratio 3,1 (95% CI 1,1–8,5) [68].

Kalcifikace jsou nejvíce echogenní strukturou v plátu. Jsou dobře detekovatelné pomocí US, a to jak pomocí GSM tak i PDA [60,63] s dobrou korelací s histologickým nálezy. Problémy se mohou objevit u vysoce kalcifikovaných plátů, kde akustické stíny mohou limitovat hodnocení plátu.

IPH je detekovatelné v plátu jako hypoechogenní struktura (obr. 3, 4) a její vznik je přisuzován úniku krve z nově vzniklých cév. Pokud se objeví fisura plátu, může dojít k formaci krevní sraženiny a trombu detekovatelné na povrchu plátu, který se v B-obrazu také jeví jako hypoechogenní. Přesnost detekce IPH nebo trombu v B-obrazu má senzitivitu 80–90 % a specifitu 80–91 % [27], a přítomnost těchto dvou znaků je v korelaci k nestabilitě plátu [69].

Neovaskularizace je další znak, který znamená pravděpodobnou nestabilitu plátu a může být nalezen na adventiciální straně arteriální stěny. V některých aterosklerotických plátech dochází k formaci nové mikrovaskulatury. Je to příznak růstu plátu a zvýšeného rizika nestability. Neovaskularizace v B-obrazu se zobrazuje jako hypoechogenní okřesek s detekcí toku v barevně kódovaném dopplerovském zobrazení nebo v energetickém módu. Nicméně dominantní metoda k detekci nově formované vaskulatury je CEUS. Zánět v plátu je další anechogenní struktura plátu, která je lépe detekovatelná pomocí CEUS.

LRNC je další hypoechogenní struktura a vypadá podobně jako IPH. Rozlišení mezi těmito dvěma histopatologickými znaky v B-obrazu je nesnadné a není dominantní této metody. Nicméně lipidy obsažené v plátu jsou dobře známý rizikový faktor ischemické CMP [70] stejně jako IPH [69].

Přítomnost JBA byla hodnocena ve vztahu k jejich velikosti a relevanci k riziku budoucího iktu, přičemž silná korelace byla zjištěna u populace s asymptomatickou stenózou [64]. Velikost lipidových okřesků se zdá kritická pro stabilitu plátu [70] a náhylnost aterosklerózy k ruptuře je zvýšená v přítomnosti velkých lipidových okřesků, jak bylo zjištěno také ve studiích s MR [11]. Hodnocení morfologie plátu prostřednictvím US může výrazně zpřesnit hodnocení rizika iktu oproti pouhému hodnocení procenta stenózy [71]. Relativní riziko ischemické CMP u subjektů s hypoechogenními pláty je 4,6 (95% CI 1,1–18,9) s lineárně progresivním trendem při zvyšujícím se hypoechogenitě plátu [72].

Echokontrastní ultrazvukové vyšetření

Kontrastní ultrazvuk používá intravenózní podání echokontrastní látky na podkladě mikrobublin, které zvyšují intenzitu odraženého ultrazvukového svazku. Tím dochází k přesnějšímu zhodnocení lumina cévy i neovaskularizace v plátu. K potlačení signálu z tkání a zesílení signálu kontrastních mikrobublin jsou zapotřebí specifické pulzní sekvence [26]. CEUS identifikuje důležitou luminální část plátu a je unikátní v detekci neovaskularizace. IPN je asociováno se zvýšeným zánětem, IPH a degradací hmoty, což vše zvyšuje nestabilitu plátu [73].

Kontrastní mikrobubliny detekované v plátu svědčí pro přítomnost neovaskularizace. Nyní se testují kvantitativní metody k hodnocení míry kontrastního zesílení. Ve studii hodnotící nestabilní pláty prostřednictvím CEUS v korelaci s histologií, symptomy a CT byla užita metoda decibelového zesílení (decibel enhancement; dB-E). Vyšší dB-E bylo signifikantně asociováno se ztenčením fibrózní čepičky ($< 200 \mu\text{m}$; $p = 0,01$) a vyšší zánětlivou infiltrací ($p = 0,03$). Předoperační ipsilaterální embolické léze na CT byly v korelaci s vyšším dB-E ($p = 0,01$) [74]. Existuje několik známých biomarkerů spojených se zánětem nebo proteolytickou aktivitou u nestabilního plátu. V několika malých studiích byla nalezena pozitivní významná asociace mezi MMP-9 a přítomností IPN detekovaným prostřednictvím CEUS (95% CI 1,002–1,027; $p = 0,021$) [75]. Hladiny sérového C reaktivního proteinu pozitivně korelovaly se stupněm karotického enhancementu korespondujícího s IPN ($R_s = 0,69$; $p < 0,01$) [76]. Kombinace detekce biomarkerů a IPN detekovaného na CEUS by dále umožnila zpřesnění stability plátu [76].

Pozdní fáze zobrazování se využívá k detekci zánětu a povrchových disrupcí plátu. Zde dochází k fagocytóze kontrastní látky makrofágy, kde může být zobrazena také retence mikrobublin na povrchu plátu [77]. Tento jev byl popsán jako syčení pozdní fáze a může být objektivně identifikován díky zobrazení plátu v 6. min po podání kontrastní látky [78].

Ulcerace jsou na CEUS snadno detekovatelné, protože dochází k velmi dobré delineaci mezi plátem a lumen cévy. V porovnání s 2D módem a barevným Dopplerovským zobrazením má CEUS vyšší senzitivitu, specifitu i intra- a interobservační shodu [79]. Díky této vysoké senzitivě na luminální změny povrchu je CEUS schopen detekovat již subklinické stadium karotické aterosklerózy lépe než konvenční US a mění tak tradičně užívanou rizikovou stratifikaci [80]. Vysoká spolehlivost metody je prokázána při diferenciální diagnostice mezi těžkou karotickou stenózou a okluzí v korelaci s ostatními metodami [81].

Třidimenzionální ultrazvukové vyšetření

Třidimenzionální US vyšetření používá speciální 3D sondy nebo kombinuje série 2D řezů, které se shromažďují v počítači a jsou rekonstruovány do 3D obrazů. Operátorova ruka a pacientova hlava musí být ve stabilní pozici, aby se zabránilo pohybovým artefaktům. Obrazy jsou získávány v celé longitudinální i axiální rovině a konvertovány do 3D rekonstrukcí [62]. Poté lze vypočítat TPA, resp. TPV.

Pláty rostou v podélné rovině tepny 2,4x rychleji než v axiální [83] a progredují a regredují cirkumferenciálně. Jelikož změny v plátu se vyvíjí ve všech třech rovinách, hodnocení plátu pouze ve 2D rovině se nezdá dostatečné. Další velkou výhodou 3D zobrazování je zlepšená detekce povrchu plátu a zobrazení nerovností a ulcerací. Tyto byly definovány jako kontinuální a výrazné deprese v plátu o objemu 1 mm³ nebo více. Ulcerace s objemem více než 5 mm³ byly asociovány s vyšším počtem ischemických cerebrálních a kardiovaskulárních událostí [84].

Ke zhodnocení odpovědi na antiaterosklerotickou terapii byly porovnávány různé prediktory kardiovaskulárního rizika.

Progrese či regrese intimomediální šíře (IMT), TPA a TPV byly měřeny prostřednictvím 3D US a pacienti byli sledováni po dobu 5 let. Progrese TPV predikovala zvý-

šené riziko ischemické CMP, smrti, TIA i kardiovaskulárních příhod ($p = 0,001$). Progrese TPA byla slabým prediktorem ischemické CMP, TIA nebo smrti, ale nezvyšovala kardiovaskulární riziko ($p = 0,143$). TPA byla také potvrzena jako silnější prediktor pro vývoj první ischemické CMP [13]. Změny IMT však nepredikovaly ischemickou CMP, TIA, smrt, ani riziko kardiovaskulárních příhod ($p = 0,455$) [14]. Měření TPV vyšlo superiority k IMT i TPA. 3D hodnocení plátu se tedy zdá být velmi slibné pro klinickou praxi budoucnosti.

Elastografie

Hemodynamické síly, které působí na plát a viskoelastické mechanické vlastnosti jsou biomechanické faktory, jež jsou považovány za významný faktor zvyšující riziko ruptury plátu. US elastografie neboli deformační zobrazování je metoda, která si klade za cíl kvantifikovat deformaci plátu v důsledku působení vnitřních a vnějších mechanických sil. Tato metoda je dobře známa z jiných struktur, zejména parenchymatózních orgánů. Aplikace na karotické pláty je tak trochu výzva, jelikož se jedná o poměrně malou strukturu a respirační i kardiální pohyby interferují se získáním dat. Tato jsou získávána v longitudinální i axiální rovině za použití radiofrekvenčního zobrazení či klasického B-obrazu a následně je provedena analýza. V menší studii hypoechogenní pláty vykazovaly vysokou deformabilitu a velkou heterogenitu v laterálním posunu radiálního pohybu arterie [62]. Jiná data ukázala, že nestabilní pláty mají tendenci být více elastické a heterogenní [85]. Vysoce rizikové pláty dle MR vykazovaly vyšší hodnoty při elastografii ve srovnání se stabilními pláty [86]. Tyto nálezy svědčí pro to, že nestabilní pláty mají tendenci být více elastické a náchylné k ruptuře. Nicméně je třeba další testování této metody.

Transkraniální barevně kódovaná duplexní sonografie a transkraniální Doppler

Transkraniální barevně kódovaná duplexní sonografie a TCD nejsou metody vhodné k vizualizaci karotického plátu samotného, ale poskytují zajímavé informace k monitorování jeho emboligenního potenciálu. Jedná se o rychlé, neinvazivní a vysoce přesné metody k hodnocení rizikového chování plátu, jelikož mikroembolické signály (microembolic signals; MES) jsou jedním z projevů nestability plátu [16].

Používají se sektorové sondy o nízkých frekvencích 2–4 MHz. Standardní vyšetřovací přístup je přes transtemporální, transforaminnální a transorbitální akustická okna, přičemž nejčastěji využívanou strukturou pro detekci MES je střední mozková arterie.

Ve studii Asymptomatic Carotid Emboli Study (ACES) byl TCD použit jako nástroj k identifikaci pacientů s asymptomatickou karotickou stenózou, kteří by mohli profitovat z chirurgického výkonu. TCD detekce MES byla potvrzena jako metoda vhodná k detekci vysoce rizikových plátů s emboligenním potenciálem. Absolutní roční riziko ipsilaterální ischemické CMP bylo 3,62 % u pacientů s MES oproti 0,70 % u pacientů bez známek embolizace [17]. Topakian et al navrhli, že kombinace detekce MES spolu s nálezem hypoechogenního plátu umožňuje významně lepší predikci rizika než použití každé metody samostatně. Absolutní roční riziko pro ischemickou CMP bylo u takto vysoce rizikových nálezu 8 % oproti skupině s nízkým rizikem < 1 % ročně. Takováto stratifikace rizikových pacientů by mohla být užitečná ke zlepšení indikace pacientů vhodných k CEA [87]. Tento závěr je ještě více podpořen faktem, že po provedení CEA dochází k významnému poklesu MES [88].

Limitace metody

Každá z popsaných US metod má určité nevýhody. Hodnocení plátu v B-obrazu je významně závislé na zkušenosti vyšetřujícího a intra- i interobservační shoda nebyla hodnocena jako optimální [27]. Variabilita vasikulární anatomie, tělesná konstituce nebo stěna cévy mohou limitovat prostupnost US paprsku [73]. Navíc těžce kalcifikované pláty způsobují akustické stíny, což komplikuje vyšetření. Další nevýhodou US je limitovaná schopnost charakterizovat složení plátu [89,90], a to zejména rozlišení mezi IPH a LRNC, které se obě zobrazují jako hypoechogenní struktury [27]. V detekci ulcerací byl US v některých studiích hodnocen jako níže senzitivní [28].

Pro CEUS vzniká několik limitací díky nutnosti aplikovat kontrastní látku. Tyto preparáty na principu mikrobublin jsou kontraindikovány u pacientů se známým pravolevým zkratem, alergií, těžkou plicní hypertenzí, nekontrolovaným systémovým tlakem, nestabilní anginou pectoris, endokarditidou a akutním respiračním distress syndromem [62].

Rovněž se může vyskytnout tzv. fenomén pseudoenhancementu, který může vést

k nadhodnocení náleží na vzdálenější cévní stěně díky zvýšenému signálu cévní stěny více vzdálené od sondy [91]. U 3D zobrazování můžou finanční a časové požadavky zbrzdit širší využití v klinické praxi. Navíc je zde zatím velmi limitované množství dat získaných 3D US vyšetření v korelaci s histologií [82]. Ačkoli jsou velké naděje vkládány ve 3D analýzu plátu do budoucna, zatím se jedná spíše o klinickou výzkumnou metodu.

Směrování dalšího výzkumu

Výzkumné snahy k překlenutí výše zmíněných limitací jsou značné. 2D B-obraz se superpozicí GSM, PDA nebo jiných pokročilých analýz složení plátu zlepšují diagnostiku jeho komponent i architektury. Standardizované počítačové analýzy by mohly pomoci redukovat interobservační variabilitu.

Zavedení CEUS do běžné klinické praxe by přineslo výhodu výrazně zlepšeného popisu luminálního povrchu plátu, neovaskularizace a zánětu, a to zejména při současném zobrazení pozdní fáze. Využití pozdní fáze rovněž nabízí možnost vývoje nových kontrastních látek, které by mohly kombinovat imunohistochemické zobrazování plátu a mohlo by tak dojít k možnosti molekulárního zobrazování karotického plátu. Tyto tracers by se mohly zaměřit na podrobnější detekci zánětu v plátu za použití P-selektinu či protilátky proti adhezivní molekule 1 cévních buněk (vascular cell adhesion molecule 1) anebo by mohly cílit na IPN za použití endoteliálního růstového faktoru 1 [92].

3D US poskytuje podrobnější detaily o povrchu plátu a unikátně je schopen hodnotit plát volumetricky. Vývoj počítačové analýzy by mohl poskytnout ještě více komplexních informací o složení plátu. Jsou vyvíjeny a testovány 3D protokoly ke kvantifikaci komponent plátu a zdá se, že by mohly být slibnou vysoce spolehlivou metodou v detekci nestabilních znaků plátu [62], rovněž v kombinaci s volumetrickými měřeními [93].

Střížné síly jsou známy jako významný lokální modulátor plátu a jsou asociovány se změnami složek plátu, jejich lokální distribucí i aktivitou metaloproteinázy-2 (MMP-2) [94]. US elastografie přináší nové možnosti měření mechanických sil a má schopnost identifikovat stadium plátu náchylné k ruptuře. Studie mechanických vlastností plátu s akustickou radiofrekvencí byly úspěšně provedeny na malých souborech pacientů podstupujících CEA [95].

Kombinace metod je další cesta ke zlepšení diagnostiky nestabilního plátu. Budoucí

výzkum směřuje k využití 3D CEUS s detekcí IPN a kvantifikací celkové hmoty plátu se znásobením efektu diagnostických metod [73].

Další metody

Existuje několik dalších invazivních technik, které nejsou součástí běžné klinické praxe, ale v zájmu zachování komplexity této práce by měly být krátce popsány, jelikož mohou přinést nový pohled na analýzu plátů a jsou předmětem vědeckého zájmu.

IVUS používá katetr s miniaturním převodníkem o vysoké frekvenci v rozpětí 20–50 MHz. V kombinaci s PDA dochází k vytvoření mapy histologických komponent plátu, která je převedena do barevně kódovaného obrazu a reprezentuje virtuální histologii. Ve studii Carotid Artery Plaque Virtual Histology Evaluation (CAPITAL) byla zjištěna silná korelace mezi virtuální histologií plátu a skutečným histologickým vyšetřením, které následovalo po CEA, obzvláště u nestabilních typů plátů [96].

NIRS je schopna charakterizovat chemické složení arteriální stěny. Infračervené světlo je emitováno do tkáně a je měřena proporce reflektovaného světla o širokém rozmezí vlnové délky. NIRS byla úspěšně ověřena proti histologickým nálezům u nestabilního plátu v lidských koronárních arteriích.

OCT je optický analog IVUS se zhruba 10x větším prostorovým rozlišením (10 μm). Zobrazování OCT je založeno na principu světelné polarizace a užívá jedno světelné vlákno, které vyzářuje světlo i zachycuje jeho odraz. IVUS i OCT prokázaly vysokou senzitivitu i specifitu detekce nestabilního plátu. Mikro OCT s prostorovým rozlišením menším než 1 μm bylo vyvinuto v zájmu zobrazení mikrostruktury plátu. IVUS i OCT dovoluují detekovat makrofágovou denzitu, změny v FC tloušťce i některé další velmi diskrétní změny plátů.

V případě μOCT mohou být zobrazeny i buněčné komponenty plátu. Monitorováním těchto subklinických biologických procesů aterosklerózy lze zdokonalit či rozšířit definici nestabilního plátu [97]. Každopádně díky invazivnímu charakteru a nízké klinické uplatnitelnosti těchto metod jsou vhodné zejména pro vědecké účely a jejich bližší popis je mimo rozsah této práce.

Zobrazovací modalita a terapeutický management

V posledních letech byl do klinické praxe zaveden nový koncept „léčit tepny místo léčby rizikových faktorů“ [98]. Je dobře známo, že

BMT je efektivní v remodelaci plátu a ve snížení rizika CMP [4]. Odhaduje se, že bez léčby progreduje minimálně 50 % plátů, zatímco jen 25 % plátů regreduje. Po zavedení na plát zaměřené terapie se tento poměr obrací [98]. K monitoraci progresu či regrese plátů lze využít mnoho metod. Studie prokázaly, že změny TPA a TPV měřené pomocí US dobře korelují s kardiovaskulárním rizikem [13,99], a proto by měly být monitorovány i v průběhu léčby. Nejen hmota plátu, ale i jeho složení se může měnit vlivem terapie. Je zde tedy relevantní možnost rutinně monitorovat efekt antiaterosklerotické terapie. Což přináší důležitou otázku, zda máme optimální monitorovací nástroj.

Diagnostický potenciál různých metod se liší a totéž platí pro jejich monitorovací schopnosti. Rovněž je namístě otázka, která metoda by mohla být užitečná pro rozpoznání kandidátů vhodných pro revaskularizaci.

CT není optimální monitorovací nástroj, zejména pokud jsou nutná opakovaná vyšetření, jelikož dochází k expozici radiaci a rovněž renální zátěž kontrastní látkou není bez rizik. Nicméně, studie s MDCTA ukázaly, že jde o metodu efektivní a přesnou v detekování změn karotického plátu a jeho složení. V recentní studii byli pacienti monitorováni po dobu 5 let a vývoj plátu byl definován jako heterogenní a pomalý proces [29]. MDCTA je obvykle iniciálním vyšetřením akutní fáze a je proto součástí diagnostické rozvahy při výběru kandidátů k revaskularizaci. Přesto, že toto je celkem častá situace v rutinní klinické praxi, morfologie plátu není vedoucím parametrem při tomto rozhodování a jsou potřeba větší studie, které budou založeny na zobrazení nestabilního plátu pomocí CT.

MR byla použita v hodnocení efektivity farmakologické léčby a potvrzena jako dobrý monitorovací nástroj. Ve studii NIA byla prostřednictvím MR měřena regrese karotické aterosklerózy indukované statiny s přidáním niacinu a bez něho se závěrem, že u obou skupin se dosáhlo významné redukce aterosklerózy bez významnějšího efektu ve skupině s niacinem [100]. V další studii byl monitorován efekt rosuvastatinu na 1,5T MR a bylo prokázáno, že terapie statiny byla přínosná v remodelaci objemu i složení plátu [101].

MR byla rovněž potvrzena jako užitečný nástroj k výběru vhodných kandidátů pro chirurgické řešení v případě symptomatické stenózy nízkého stupně, kdy dle MR byli identifikováni pacienti s nestabilním plá-

tem, u nichž bylo vysoké procento recidivy iCMP i přes intenzivní konzervativní terapii. U těchto selektovaných pacientů bylo provedením CEA dosaženo významné redukce rizika recidivy ischemické CMP [102].

Vysoká intenzita signálu v plátu na MR TOF značí nestabilní plát a CAS provedený u těchto pacientů byl spojen se zvýšenými počty komplikací v porovnání s chirurgickým řešením. Dle Yoshimury et al byl výběr léčebné metody na podkladě zobrazení plátu jediným nezávislým prediktivním faktorem periprocedurálních komplikací [103].

PET s FDG byla použita jako monitorovací nástroj ve studii s pioglitazonem. Tento lék byl první hypoglykemizující preparát s potvrzeným efektem na potlačení zánětu v aterosklerotickém plátu u pacientů s porušenou glukózovou tolerancí či u diabetiků, přičemž utlumení zánětlivé aktivity se jevílo být nezávislé na hypoglykemizujícím efektu pioglitazonu [104]. Touto molekulární technikou byly zkoumány i další léky, vč. hypolipidemik. Vysoké dávky atorvastatinu vedly k významnému, na dávce dependentnímu snížení v FDG uptake, který odráží změny v zánětlivém postižení plátu [105].

PET má také potenciál detekovat metabolické změny v odpovědi na léčbu. V současnosti však nejsou data z větších studií, kde by byla PET použita jako nástroj pro výběr vhodných kandidátů k revascularizačním procedurám [26].

Role US v monitoringu plátu je bezkonkurenční. Rychlá, neinvazivní a vysoce informativní modalita s neomezeným množstvím možných opakování je nepochybně metoda volby nejen k monitoringu dynamiky plátu, ale rovněž ke sledování terapeutického efektu. Výtěžnost detekce nestability plátu v B-obrazu byla testována v mnoha studiích. Echogenita plátu byla hodnocena prostřednictvím škály šedi při vysokých dávkách atorvastatinu [106]. Podle Kadoglou et al zvýšila agresivní léčba atorvastatinem u pacientů se středním stupněm stenózy echogenitu plátu [107].

IPN a její vývoj je dalším potenciálním cílem k monitoraci pomocí CEUS. Ve studii s vysoce rizikovými pacienty s koronárním onemocněním bylo prokázáno, že detekovaná neovaskularizace u pacientů s pláty v průběhu 6 měsíců léčby atorvastatinem regredovala ve 46 % [108].

3D US umožňuje zhodnocení rizikivosti plátu s vysokou interobservační shodou [109]. Měření 3D objemu plátu může prokázat významný efekt terapie atero-

sklerózy již během 3 měsíců, zejména významný trend v regresi plátu při terapii atorvastatinem [110].

Role TCD a transkraniální barevně kódované sonografie při stratifikaci rizika už byla popsána. Detekce MES je významný znak nestability plátu a je podstatně častější u symptomatické než u asymptomatické stenózy [19]. Kombinace TCD s hodnocením plátu v B-obrazu potvrdila nárůst efektivity US vyšetření [87] a další kombinace metod je klinicky testována. US se zdá být také slibná a široce dostupná metoda pro výběr kandidátů k revascularizaci. Spolehlivost US při identifikaci nestabilních znaků plátu je potřeba ještě ověřit ve velkých studiích. Nicméně aktuálně dostupná data o US vyšetřování karotid dávají metodě velké naděje do budoucna.

Diskuze

Hodnocení aterosklerotického onemocnění karotid pouze na podkladě stupně stenózy je v současnosti zjevně nedostatečné a klinická potřeba dalších informací vč. charakteristiky plátu je nepopíratelná. K nejvíce prozkoumaným známkám nestability plátu patří zvětšující se objem plátu, změny na povrchu plátu vč. zúžení FC nebo ulcerace, LRNC a jejich velikosti i lokalizace, IPH, IPN, trombus a zánětlivá aktivita plátu. Pokusy nalézt jedinou diagnostickou metodu, která by byla schopná zobrazit všechny tyto znaky, jsou zatím jen předmětem mnoha výzkumných aktivit.

CT je slibná metoda k detekci povrchových nerovností a ulcerací, vynikající ve zobrazení kalcifikací a dostačující k odhalení dalších znaků plátu, jako je IPH, neovaskularizace a LRNC, ale rozlišení mezi uvedenými je nedostatečné. Pozdní kontrastní fáze se zdá být schopna identifikovat nestabilní pláty, ale dynamické protokoly jsou zatím jen testovány.

MR má největší potenciál v rozlišení nestabilní morfologie plátu a většiny jeho charakteristik. Excelentní se zdá být v detekci IPH, a to včetně ohodnocení stěh hematomu, a jeho rozlišení od LRNC již bylo mnohokrát potvrzeno. IPN a zánět mohou být detekovány postkontrastním syčením, ulcerace jsou viditelné na všech kontrastních váženích.

PET má vedoucí roli v detekci zánětu i remodelace plátu, ale prostorové rozlišení anatomických struktur je nízké.

US je rychle se rozvíjející a expandující metoda s několika novými modalitami ke zlepšení detekce nestabilního plátu. Má schopnost zachytit většinu znaků plátu

a zatím nedostatečné rozlišení některých z nich může být zlepšeno použitím pokročilejších metod jako je CEUS s vynikající rozlišovací detekcí IPN nebo zánětu v pozdní fázi zobrazování, 3D US s nejpřesnějším měřením objemu plátu a monitoringu jeho dynamiky nebo počítačová analýza echogenity plátu. Zejména zmapování architektiky plátu včetně zobrazení JBA může mít významný vliv při výběru invazivní metody. Zobrazení v reálném čase včetně zhodnocení hemodynamiky a neinvazivita metody staví US do vedoucí pozice při nutnosti opakovaných vyšetření. Možnost detekce MES je navíc další metoda, která významným způsobem indikuje nestabilitu plátu a přítomnost emboligenních signálů z plátu je dalším důležitým kritériem k indikaci invazivního řešení stenózy.

Invazivní techniky jako IVUS, OCT nebo NIRS a jejich kombinace jsou cenné výzkumné metody, ale nejsou vhodné pro klinickou praxi díky jejich invazivitě. Nicméně, tyto techniky by mohly být užitečné v plánování endovaskulárních procedur.

Opakované zobrazování aterosklerózy *in vivo* je důležité pro pochopení patofyziologie progresu plátu a je potenciálně užitečné k predikci kardiovaskulárních událostí i monitorování efektu léčby. Jediné vyšetření nemůže zhodnotit vývoj plátu v čase, jelikož ateroskleróza je komplexní a pomalý proces a úspěch její léčby by měl být průběžně sledován [98]. Pouze tímto způsobem můžeme dosáhnout efektivní léčby a zhodnotit potřebu délky terapie nutné k dosažení stabilizace plátu – např. bylo mnohokrát testováno trvání hypolipidemické terapie statinem, kdy čas k dosažení regrese plátu byl v průměru 19,7 měsíců [111]. Pokud BMT není efektivní, pravidelné monitorování může pomoci určit načasování intervenční, popřípadě revascularizační terapie. Je doporučován screening asymptomatické karotické stenózy v populaci a je potřeba optimalizovat výběr vhodných pacientů k intervencím [112] a opakované sledování vývoje onemocnění.

Vlastní analýza plátu je pravděpodobně největší dominantou MR, ale US se stává metodou, které se pravděpodobně dostane širšího využití ve studiích aterosklerózy [89]. V budoucnosti očekáváme pokrok v zobrazení každé z metod, který by poskytl více detailních morfologických informací o karotickém plátu. Molekulární zobrazování s několika novými tracery pro CEUS a PET, analýza textury v US B-obrazu, pokročilejší 3D US,

dynamické protokoly s kontrastním syčením nebo zobrazení karotické stěny na 7T MR jsou jen některé z výzkumných zájmů a jejich korelace s histologickými nálezy je nutná k dalšímu vývoji těchto technik.

Závěr

I když mnohé z uvedených technik jsou velkým příslibem do budoucna, v současnosti neexistuje jediná zobrazovací modalita, která by bezpečně zobrazila všechny nestabilní znaky plátu a pouze kombinace těchto metod může přinést jeho komplexní zhodnocení. V současnosti je rozhodnutí o CEA založeno převážně na stupni stenózy. Nicméně detailní charakterizace plátu může lépe pomoci predikovat riziko ischemické CMP a dovolí přesnější selekci pacientů k intervencím. Studie na tomto poli stále probíhají [113].

Jsou potřeba především velké multicentrické studie, abychom mohli zhodnotit, zda a do jaké míry je při výběru kandidátů k invazivním procedurám komplexní analýza aterosklerotického plátu superiorním hodnocením ve srovnání s prostým hodnocením plátu dle stupně stenózy. Můžeme ovšem s jistotou říci, že podrobnější diagnostika plátu může pomoci v zavedení personalizovaného hodnocení a dovolí nám individualizovat péči s cílem snížení rizika vzniku ischemických CMP na podkladě nestabilních karotických plátů.

Seznam zkratk

¹⁸F-DG – ¹⁸F-fluorodeoxyglukóza
¹⁸F-NaF – ¹⁸F-natriumfluorid
 2D – dvojrozměrný, dvoudimenzionální
 3D – třírozměrný, třídímenzionální
 ACES – Asymptomatic Carotid Emboli Study
 BMT – best medical treatment
 CAPITAL – Carotid Artery Plaque Virtual Histology Evaluation
 CAS – karotický stenting
 CEA – karotická endarterektomie
 CE MR – kontrastní magnetická rezonance
 CEUS – echokonstrastní ultrazvukové vyšetření
 dB-E – decibelové zesílení
 DSA – digitální subtrakční angiografie
 DSCT – dvouzdrojová CT
 FC – fibrózní čepička
 FDG – F-fluorodeoxyglukóza
 FSE – fast spin-echo
 Gd – gadolinium
 GSM – gray scale median
 HU – Hounsfieldovy jednotky
 IBS – integrovaný ultrasonický zpětný rozptyl
 IMT – intimomediální šířka
 IPH – krvácení v aterosklerotickém plátu
 IPN – neovaskularizace plátu
 IVUS – intravaskulární ultrazvuk
 JBA – juxtaluminální tmavý okřesek
 LRNC – na lipidy bohaté nekrotické jádro
 MDCT – multidetektorová CT

MES – mikroembolický signál
 MMP – matricová metaloproteináza
 NIRS – blízká infračervená spektroskopie, near infrared spectroscopy
 OCT – optická koherenční tomografie
 PDA – analýza distribuce pixelů
 PDW – proton denzitně vážené
 SNAP – simultaneous non-contrast angiography and intraplaque haemorrhage
 SPECT – jednofotonová emisní výpočetní tomografie
 SPIO – supramagnetické částice oxidu železa
 SUV – standardized uptake value
 TCD – transkraniální Doppler
 TIA – tranzitorní ischemická ataka
 TOF – time-of-flight
 TPA – celkový povrch plátu
 TPV – celkový objem plátu
 US – ultrazvuk
 μ OCT – mikro-optická koherenční tomografie

Literatura

1. Touzé E. Natural history of asymptomatic carotid artery stenosis. *Rev Neurol (Paris)* 2008; 164(10): 793–800. doi: 10.1016/j.neurol.2008.07.005.
2. Kernan WN, Ovbiagele B, Black HR et al. Guidelines for the prevention of stroke in patients with stroke and transient ischemic attack: a guideline for healthcare professionals from the American Heart Association/American Stroke Association. *Stroke* 2014; 45(7): 2160–2236. doi: 10.1161/STR.0000000000000024.
3. Altaf N, Daniels L, Morgan PS et al. Detection of intraplaque hemorrhage by magnetic resonance imaging in symptomatic patients with mild to moderate carotid stenosis predicts recurrent neurological events. *J Vasc Surg* 2008; 47(2): 337–342. doi: 10.1016/j.jvs.2007.09.064.
4. Marquardt L, Geraghty OC, Mehta Z et al. Low risk of ipsilateral stroke in patients with asymptomatic carotid stenosis on best medical treatment: a prospective, population-based study. *Stroke* 2010; 41(1): e11–e17. doi: 10.1161/STROKEAHA.109.561837.
5. Mossa-Basha M, Wasserman BA. Low-grade carotid stenosis: implications of MR imaging. *Neuroimaging Clin N Am* 2016; 26(1): 129–145. doi: 10.1016/j.nic.2015.09.010.
6. Paraskevas KI, Spence JD, Veith FJ et al. Identifying which patients with asymptomatic carotid stenosis could benefit from intervention. *Stroke* 2014; 45(12): 3720–3724. doi: 10.1161/STROKEAHA.114.006912.
7. Kolodgie FD, Yahagi K, Mori H et al. High-risk carotid plaque: lessons learned from histopathology. *Semin Vasc Surg* 2017; 30(1): 31–43. doi: 10.1053/j.semvasc-surg.2017.04.008.
8. Fleiner M, Kummer M, Mirlacher M et al. Arterial neovascularization and inflammation in vulnerable patients: early and late signs of symptomatic atherosclerosis. *Circulation* 2004; 110(18): 2843–2850. doi: 10.1161/01.CIR.0000146787.16297.E8.
9. Hellings WE, Peeters W, Moll FL et al. Composition of carotid atherosclerotic plaque is associated with cardiovascular outcome: a prognostic study. *Circulation* 2010; 121(17): 1941–1950. doi: 10.1161/CIRCULATIONAHA.109.887497.
10. Fisher M, Paganini-Hill A, Martin A et al. Carotid plaque pathology: thrombosis, ulceration, and stroke pathogenesis. *Stroke* 2005; 36(2): 253–257. doi: 10.1161/01.STR.0000152336.71224.21.
11. Wasserman BA, Sharrett AR, Lai S et al. Risk factor associations with the presence of a lipid core in carotid plaque of asymptomatic individuals using high-resolution MRI: the multi-ethnic study of atherosclerosis (MESA). *Stroke* 2008; 39(2): 329–335. doi: 10.1161/STROKEAHA.107.498634.
12. Naylor AR, Schroeder TV, Sillesen H. Clinical and imaging features associated with an increased risk of late

stroke in patients with asymptomatic carotid disease. *Eur J Vasc Endovasc Surg* 2014; 48(6): 633–640. doi: 10.1016/j.ejvs.2014.08.017.

13. Mathiesen EB, Johnsen SH, Wilsgaard T et al. Carotid plaque area and intima-media thickness in prediction of first-ever ischemic stroke: a 10-year follow-up of 6584 men and women: the Tromsø Study. *Stroke* 2011; 42(4): 972–998. doi: 10.1161/STROKEAHA.110.589754.
14. Wannarong T, Parraga G, Buchanan D et al. Progression of carotid plaque volume predicts cardiovascular events. *Stroke* 2013; 44(7): 1859–1865. doi: 10.1161/STROKEAHA.113.001461.
15. Gupta A, Baradaran H, Schweitzer AD et al. Carotid plaque MRI and stroke risk: a systematic review and meta-analysis. *Stroke* 2013; 44(11): 3071–3077. doi: 10.1161/STROKEAHA.113.002551.
16. Spence JD. Transcranial Doppler monitoring for microemboli: a marker of a high-risk carotid plaque. *Semin Vasc Surg* 2017; 30(1): 62–66. doi: 10.1053/j.semvasc-surg.2017.04.011.
17. Markus HS, King A, Shipley M et al. Asymptomatic embolisation for prediction of stroke in the Asymptomatic Carotid Emboli Study (ACES): a prospective observational study. *Lancet Neurol* 2010; 9(7): 663–671. doi: 10.1016/S1474-4422(10)70120-4.
18. Redgrave JN, Coutts SB, Schulz UG et al. Systematic review of associations between the presence of acute ischemic lesions on diffusion-weighted imaging and clinical predictors of early stroke risk after transient ischemic attack. *Stroke* 2007; 38(5): 1482–1488. doi: 10.1161/STROKEAHA.106.477380.
19. Ritter MA, Dittrich R, Thoenissen N et al. Prevalence and prognostic impact of microembolic signals in arterial sources of embolism. A systematic review of the literature. *J Neurol* 2008; 255(7): 953–961. doi: 10.1007/s00415-008-0638-8.
20. Freilinger TM, Schindler A, Schmidt C et al. Prevalence of nonstenosing, complicated atherosclerotic plaques in cryptogenic stroke. *JACC Cardiovasc Imaging* 2012; 5(4): 397–405. doi: 10.1016/j.jcmg.2012.01.012.
21. Bayer-Karpinska A, Schwarz F, Wollenweber FA et al. The carotid plaque imaging in acute stroke (CAPIAS) study: protocol and initial baseline data. *BMC Neurol* 2013; 13: 201. doi: 10.1186/1471-2377-13-201.
22. Das M, Braunschweig T, Mühlenbruch G et al. Carotid plaque analysis: comparison of dual-source computed tomography (CT) findings and histopathological correlation. *Eur J Vasc Endovasc Surg* 2009; 38(1): 14–19. doi: 10.1016/j.ejvs.2009.03.013.
23. Horie N, Morikawa M, Ishizaka S et al. Assessment of carotid plaque stability based on the dynamic enhancement pattern in plaque components with multidetector CT angiography. *Stroke* 2012; 43(2): 393–398. doi: 10.1161/STROKEAHA.111.635953.
24. Josephson SA, Bryant SO, Mak HK et al. Evaluation of carotid stenosis using CT angiography in the initial evaluation of stroke and TIA. *Neurology* 2004; 63(3): 457–460.
25. Wintermark M, Jawadi SS, Rapp JH et al. High-resolution CT imaging of carotid artery atherosclerotic plaques. *AJNR Am J Neuroradiol* 2008; 29(5): 875–882. doi: 10.3174/ajnr.A0950.
26. Brinjikji W, Huston J 3rd, Rabinstein AA et al. Contemporary carotid imaging: from degree of stenosis to plaque vulnerability. *J Neurosurg* 2016; 124(1): 27–42. doi: 10.3171/2015.1.JNS142452.
27. Huibers A, de Borst GJ, Wan S et al. Non-invasive Carotid Artery Imaging to Identify the Vulnerable Plaque: Current Status and Future Goals. *Eur J Vasc Endovasc Surg* 2015; 50(5): 563–572. doi: 10.1016/j.ejvs.2015.06.113.
28. Saba L, Tamponi E, Raz E et al. Correlation between fissured fibrous cap and contrast enhancement: preliminary results with the use of CTA and histologic validation.

- AJNR Am J Neuroradiol 2014; 35(4): 754–759. doi: 10.3174/ajnr.A3759.
29. van Gils MJ, Vukadinovic D, van Dijk AC et al. Carotid atherosclerotic plaque progression and change in plaque composition over time: a 5-year follow-up study using serial CT angiography. *AJNR Am J Neuroradiol* 2012; 33(7): 1267–1273. doi: 10.3174/ajnr.A2970.
30. Watanabe Y, Nagayama M. MR plaque imaging of the carotid artery. *Neuroradiology* 2010; 52(4): 253–274. doi: 10.1007/s00234-010-0663-z.
31. Millon A, Bousset L, Brevet M et al. Clinical and histological significance of gadolinium enhancement in carotid atherosclerotic plaque. *Stroke* 2012; 43(11): 3023–3028. doi: 10.1161/STROKEAHA.112.662692.
32. Cai JM, Hatsukami TS, Ferguson MS et al. Classification of human carotid atherosclerotic lesions with in vivo multicontrast magnetic resonance imaging. *Circulation* 2002; 106(11): 1368–1373.
33. Puppini G, Furlan F, Cirotta N et al. Characterisation of carotid atherosclerotic plaque: comparison between magnetic resonance imaging and histology. *Radiol Med* 2006; 111(7): 921–930. doi: 10.1007/s11547-006-0091-7.
34. Saam T, Hetterich H, Hoffmann V et al. Meta-analysis and systematic review of the predictive value of carotid plaque hemorrhage on cerebrovascular events by magnetic resonance imaging. *J Am Coll Cardiol* 2013; 62(12): 1081–1091. doi: 10.1016/j.jacc.2013.06.015.
35. den Hartog AG, Bovens SM, Koning W et al. Current status of clinical magnetic resonance imaging for plaque characterisation in patients with carotid artery stenosis. *Eur J Vasc Endovasc Surg* 2013; 45(1): 7–21. doi: 10.1016/j.ejvs.2012.10.022.
36. Underhill HR, Yuan C, Yarnykh VL. Predictors of surface disruption with MR imaging in asymptomatic carotid artery stenosis. *AJNR Am J Neuroradiol* 2010; 31(3): 487–493. doi: 10.3174/ajnr.A1842.
37. Chan JM, Monaco C, Wylezinska-Arridge M et al. Imaging of the vulnerable carotid plaque: biological targeting of inflammation in atherosclerosis using iron oxide particles and MRI. *Eur J Vasc Endovasc Surg* 2014; 47(5): 462–469. doi: 10.1016/j.ejvs.2014.01.017.
38. Gaens ME, Backes WH, Rozel S et al. Dynamic contrast-enhanced MR imaging of carotid atherosclerotic plaque: model selection, reproducibility, and validation. *Radiology* 2013; 266(1): 271–279. doi: 10.1148/radiol.12120499.
39. Esposito-Bauer L, Saam T, Ghodrati I et al. MRI plaque imaging detects carotid plaques with a high risk for future cerebrovascular events in asymptomatic patients. *PLoS One* 2013; 8(7): e67927. doi: 10.1371/journal.pone.0067927.
40. Altaf N, Morgan PS, Moody A et al. Brain white matter hyperintensities are associated with carotid intraplaque hemorrhage. *Radiology* 2008; 248(1): 202–209. doi: 10.1148/radiol.2481070300.
41. den Hartog AG, Bovens SM, Koning W et al. PLACD-7T Study: Atherosclerotic Carotid Plaque Components Correlated with Cerebral Damage at 7 Tesla Magnetic Resonance Imaging. *Curr Cardiol Rev* 2011; 7(1): 28–34. doi: 10.2174/157340311795677743.
42. Wang J, Börner P, Zhao H et al. Simultaneous non-contrast angiography and intraplaque hemorrhage (SNAP) imaging for carotid atherosclerotic disease evaluation. *Magn Reson Med* 2013; 69(2): 337–345. doi: 10.1002/mrm.24254.
43. de Rotte AA, Koning W, den Hartog AG et al. 7.0 T MRI detection of cerebral microinfarcts in patients with a symptomatic high-grade carotid artery stenosis. *J Cereb Blood Flow Metab* 2014; 34(10): 1715–1719. doi: 10.1038/jcbfm.2014.141.
44. de Rotte AA, Koning W, Truijman MT et al. Seven-tesla magnetic resonance imaging of atherosclerotic plaque in the significantly stenosed carotid artery: a feasibility study. *Invest Radiol* 2014; 49(11): 749–757. doi: 10.1097/RLI.0000000000000079.
45. van't Klooster R, de Koning PJ, Dehnavi RA et al. Automatic lumen and outer wall segmentation of the carotid artery using deformable three-dimensional models in MR angiography and vessel wall images. *J Magn Reson Imaging* 2012; 35(1): 156–165. doi: 10.1002/jmri.22809.
46. Makowski MR, Botnar RM. MR imaging of the arterial vessel wall: molecular imaging from bench to bedside. *Radiology* 2013; 269(1): 34–51. doi: 10.1148/radiol.13102336.
47. Cocker MS, Mc Ardle B, Spence JD et al. Imaging atherosclerosis with hybrid [18F]fluorodeoxyglucose positron emission tomography/computed tomography imaging: what Leonardo da Vinci could not see. *J Nucl Cardiol* 2012; 19(6): 1211–1225. doi: 10.1007/s12350-012-9631-9.
48. Blomberg BA, Thomassen A, Takx RA et al. Delayed ¹⁸F-fluorodeoxyglucose PET/CT imaging improves quantitation of atherosclerotic plaque inflammation: results from the CAMONA study. *J Nucl Cardiol* 2014; 21(3): 588–597. doi: 10.1007/s12350-014-9884-6.
49. Rudd JH, Myers KS, Bansilal S et al. (18F)fluorodeoxyglucose positron emission tomography imaging of atherosclerotic plaque inflammation is highly reproducible: implications for atherosclerosis therapy trials. *J Am Coll Cardiol* 2007; 50(9): 892–896. doi: 10.1016/j.jacc.2007.05.024.
50. Tawakol A, Migrino RQ, Bashian GG et al. In vivo ¹⁸F-fluorodeoxyglucose positron emission tomography imaging provides a noninvasive measure of carotid plaque inflammation in patients. *J Am Coll Cardiol* 2006; 48(9): 1818–1824. doi: 10.1016/j.jacc.2006.05.076.
51. Masteling MG, Zeebregts CJ, Tio RA et al. High-resolution imaging of human atherosclerotic carotid plaques with micro ¹⁸F-FDG PET scanning exploring plaque vulnerability. *J Nucl Cardiol* 2011; 18(6): 1066–1075. doi: 10.1007/s12350-011-9460-2.
52. Marnane M, Merwick A, Sheehan OC et al. Carotid plaque inflammation on ¹⁸F-fluorodeoxyglucose positron emission tomography predicts early stroke recurrence. *Ann Neurol* 2012; 71(5): 709–718. doi: 10.1002/ana.23553.
53. Kwee RM, Teule GJ, van Oostenbrugge RJ et al. Multimodality imaging of carotid artery plaques: ¹⁸F-fluoro-2-deoxyglucose positron emission tomography, computed tomography, and magnetic resonance imaging. *Stroke* 2009; 40(12): 3718–3724. doi: 10.1161/STROKEAHA.109.564088.
54. Joshi NV, Vesey AT, Williams MC et al. ¹⁸F-fluoride positron emission tomography for identification of ruptured and high-risk coronary atherosclerotic plaques: a prospective clinical trial. *Lancet* 2014; 383(9918): 705–713. doi: 10.1016/S0140-6736(13)61754-7.
55. Derlin T, Wisotzki C, Richter U et al. In vivo imaging of mineral deposition in carotid plaque using ¹⁸F-sodium fluoride PET/CT: correlation with atherogenic risk factors. *J Nucl Med* 2011; 52(3): 362–368. doi: 10.2967/jnumed.110.081208.
56. Hermann S, Starsichova A, Waschka B et al. Non-FDG imaging of atherosclerosis: will imaging of MMPs assess plaque vulnerability? *J Nucl Cardiol* 2012; 19(3): 609–617. doi: 10.1007/s12350-012-9553-6.
57. Beer AJ, Pelisek J, Heider P et al. PET/CT imaging of integrin α v β 3 expression in human carotid atherosclerosis. *JACC Cardiovasc Imaging* 2014; 7(2): 178–187. doi: 10.1016/j.jcmg.2013.12.003.
58. Lammie GA, Wardlaw J, Allan P et al. What pathological components indicate carotid atheroma activity and can these be identified reliably using ultrasound? *Eur J Ultrasound* 2000; 11(2): 77–86.
59. Kyriacou EC, Pattichis C, Pattichis M et al. A review of noninvasive ultrasound image processing methods in the analysis of carotid plaque morphology for the assessment of stroke risk. *IEEE Trans Inf Technol Biomed* 2010; 14(4): 1027–1038. doi: 10.1109/TITB.2010.2047649.
60. Grønholdt ML, Nordestgaard BG, Schroeder TV et al. Ultrasonic echolucent carotid plaques predict future strokes. *Circulation* 2001; 104(1): 68–73.
61. Nicolaidis AN, Kakkos SK, Kyriacou E et al. Asymptomatic Carotid Stenosis and Risk of Stroke (ACSRS) Study Group. Asymptomatic internal carotid artery stenosis and cerebrovascular risk stratification. *J Vasc Surg* 2010; 52(6): 1486–1496. doi: 10.1016/j.jvs.2010.07.021.
62. Cires-Drouet RS, Mozafarian M, Ali A et al. Imaging of high-risk carotid plaques: ultrasound. *Semin Vasc Surg* 2017; 30(1): 44–53. doi: 10.1053/j.semvascsurg.2017.04.010.
63. Lal BK, Hobson RW 2nd, Hameed M et al. Noninvasive identification of the unstable carotid plaque. *Ann Vasc Surg* 2006; 20(2): 167–174. doi: 10.1007/s10016-006-9000-8.
64. Kakkos SK, Griffin MB, Nicolaidis AN et al. The size of juxtaluminar hypochoic area in ultrasound images of asymptomatic carotid plaques predicts the occurrence of stroke. *J Vasc Surg* 2013; 57(3): 609–618. doi: 10.1016/j.jvs.2012.09.045.
65. Roubec M, Kuliha M, Jonszta T et al. Detection of intracranial arterial stenosis using transcranial color-coded duplex sonography, computed tomographic angiography, and digital subtraction angiography. *J Ultrasound Med* 2011; 30(8): 1069–1075.
66. Waki H, Masuyama T, Mori H et al. Ultrasonic tissue characterization of the atherosclerotic carotid artery: histological correlates or carotid integrated backscatter. *Circ J* 2003; 67(12): 1013–1016.
67. Muraki M, Mikami T, Yoshimoto T et al. New criteria for the sonographic diagnosis of a plaque ulcer in the extracranial carotid artery. *AJR Am J Roentgenol* 2012; 198(5): 1161–1166. doi: 10.2214/AJR.11.7018.
68. Prabhakaran S, Rundek T, Ramas R et al. Carotid plaque surface irregularity predicts ischemic stroke: the northern Manhattan study. *Stroke* 2006; 37(11): 2696–2701. doi: 10.1161/01.STR.0000244780.82190.a4.
69. Salem MK, Bown MJ, Sayers RD et al. Identification of patients with a histologically unstable carotid plaque using ultrasonic plaque image analysis. *Eur J Vasc Endovasc Surg* 2014; 48(2): 118–125. doi: 10.1016/j.ejvs.2014.05.015.
70. Davies MJ, Richardson PD, Woolf N et al. Risk of thrombosis in human atherosclerotic plaques: role of extracellular lipid, macrophage, and smooth muscle cell content. *Br Heart J* 1993; 69(5): 377–381.
71. Gupta A, Kesavabhotla K, Baradaran H et al. Plaque echolucency and stroke risk in asymptomatic carotid stenosis: a systematic review and meta-analysis. *Stroke* 2015; 46(1): 91–97. doi: 10.1161/STROKEAHA.114.006091.
72. Mathiesen EB, Bønaa KH, Joakimsen O. Echolucent plaques are associated with high risk of ischemic cerebrovascular events in carotid stenosis: the tromsø study. *Circulation* 2001; 103(17): 2171–2175.
73. Saha SA, Gourineni V, Feinstein SB. The use of contrast-enhanced ultrasonography for imaging of carotid atherosclerotic plaques: current evidence, future directions. *Neuroimaging Clin N Am* 2016; 26(1): 81–96. doi: 10.1016/j.nic.2015.09.007.
74. Faggioli GL, Pini R, Mauro R et al. Identification of carotid 'vulnerable plaque' by contrast-enhanced ultrasonography: correlation with plaque histology, symptoms and cerebral computed tomography. *Eur J Vasc Endovasc Surg* 2011; 41(2): 238–248. doi: 10.1016/j.ejvs.2010.11.002.
75. Kim HS, Woo JS, Kim BY et al. Biochemical and clinical correlation of intraplaque neovascularization using contrast-enhanced ultrasound of the carotid artery. *Atherosclerosis* 2014; 233(2): 579–583. doi: 10.1016/j.atherosclerosis.2014.01.042.
76. Chang X, Feng J, Ruan L et al. Positive correlation between neovascularization degree of carotid atherosclerosis determined by contrast-enhanced ultrasound and level of serum C-reactive protein. *Vasa* 2015; 44(3): 187–194. doi: 10.1024/0301-1526/a000429.
77. Lindner JR, Dayton PA, Coggins MP et al. Noninvasive imaging of inflammation by ultrasound detection of phagocytosed microbubbles. *Circulation* 2000; 102(5): 531–538.

78. Owen DR, Shalhoub J, Miller S et al. Inflammation within carotid atherosclerotic plaque: assessment with late-phase contrast-enhanced US. *Radiology* 2010; 255(2): 638–644. doi: 10.1148/radiol.10091365.
79. ten Kate GL, van Dijk AC, van den Oord SC et al. Usefulness of contrast-enhanced ultrasound for detection of carotid plaque ulceration in patients with symptomatic carotid atherosclerosis. *Am J Cardiol* 2013; 112(2): 292–298. doi: 10.1016/j.amjcard.2013.03.028.
80. van den Oord SC, ten Kate GL, Sijbrands EJ et al. Effect of carotid plaque screening using contrast-enhanced ultrasound on cardiovascular risk stratification. *Am J Cardiol* 2013; 111(5): 754–759. doi: 10.1016/j.amjcard.2012.11.033.
81. Hammond CJ, McPherson SJ, Patel JV et al. Assessment of apparent internal carotid occlusion on ultrasound: prospective comparison of contrast-enhanced ultrasound, magnetic resonance angiography and digital subtraction angiography. *Eur J Vasc Endovasc Surg* 2008; 35(4): 405–412. doi: 10.1016/j.ejvs.2007.12.008.
82. Makris GC, Lavida A, Griffin M et al. Three-dimensional ultrasound imaging for the evaluation of carotid atherosclerosis. *Atherosclerosis* 2011; 219(2): 377–383. doi: 10.1016/j.atherosclerosis.2011.05.006.
83. Spence JD, Eliasziw M, DiCicco M et al. Carotid plaque area: a tool for targeting and evaluating vascular preventive therapy. *Stroke* 2002; 33(12): 2916–2922.
84. Kuk M, Wannarong T, Beletsky V et al. Volume of carotid artery ulceration as a predictor of cardiovascular events. *Stroke* 2014; 45(5): 1437–1441. doi: 10.1161/STROKEAHA.114.005163.
85. Zhang Q, Li C, Zhou M et al. Quantification of carotid plaque elasticity and intraplaque neovascularization using contrast-enhanced ultrasound and image registration-based elastography. *Ultrasonics* 2015; 62: 253–262. doi: 10.1016/j.ultras.2015.05.025.
86. Huang C, Pan X, He Q et al. Ultrasound-based carotid elastography for detection of vulnerable atherosclerotic plaques validated by magnetic resonance imaging. *Ultrasound Med Biol* 2016; 42(2): 365–377. doi: 10.1016/j.ultrasmedbio.2015.09.023.
87. Topakian R, King A, Kwon SU et al. Ultrasonic plaque echolucency and emboli signals predict stroke in asymptomatic carotid stenosis. *Neurology* 2011; 77(8): 751–758. doi: 10.1212/WNL.0b013e31822b00a6.
88. van Zuilen EV, Moll FL, Vermeulen FE et al. Detection of cerebral microemboli by means of transcranial Doppler monitoring before and after carotid endarterectomy. *Stroke* 1995; 26(2): 210–213.
89. Spence JD. Determinants of carotid plaque burden. *Atherosclerosis* 2016; 255: 122–123. doi: 10.1016/j.atherosclerosis.2016.10.045.
90. Tegos TJ, Sohail M, Sabetai MM et al. Echomorphologic and histopathologic characteristics of unstable carotid plaques. *AJNR Am J Neuroradiol* 2000; 21(10): 1937–1944.
91. ten Kate GL, Renaud GG, Akkus Z et al. Far-wall pseudoenhancement during contrast-enhanced ultrasound of the carotid arteries: clinical description and in vitro reproduction. *Ultrasound Med Biol* 2012; 38(4): 593–600. doi: 10.1016/j.ultrasmedbio.2011.12.019.
92. Alonso A, Artemis D, Hennerici MG. Molecular imaging of carotid plaque vulnerability. *Cerebrovasc Dis* 2015; 39(1): 5–12. doi: 10.1159/000369123.
93. van Engelen A, Wannarong T, Parraga G et al. Three-dimensional carotid ultrasound plaque texture predicts vascular events. *Stroke* 2014; 45(9): 2695–2701. doi: 10.1161/STROKEAHA.114.005752.
94. Krams R, Cheng C, Heldermer F et al. Shear stress is associated with markers of plaque vulnerability and MMP-9 activity. *EuroIntervention* 2006; 2(2): 250–256.
95. Czernuszewicz TJ, Homeister JW, Caughey MC et al. Non-invasive in vivo characterization of human carotid plaques with acoustic radiation force impulse ultrasound: comparison with histology after endarterectomy. *Ultrasound Med Biol* 2015; 41(3): 685–697. doi: 10.1016/j.ultrasmedbio.2014.09.016.
96. Diethrich EB, Pauliina Margolis M, Reid DB et al. Virtual histology intravascular ultrasound assessment of carotid artery disease: The Carotid Artery Plaque Virtual Histology Evaluation (CAPITAL) study. *J Endovasc Ther* 2007; 14(5): 676–686. doi: 10.1177/152660280701400512.
97. Celeng C, Takx RA, Ferencik M et al. Non-invasive and invasive imaging of vulnerable coronary plaque. *Trends Cardiovasc Med* 2016; 26(6): 538–547. doi: 10.1016/j.tcm.2016.03.005.
98. Spence JD, Hackam DG. Treating arteries instead of risk factors: a paradigm change in management of atherosclerosis. *Stroke* 2010; 41(6): 1193–1199. doi: 10.1161/STROKEAHA.110.577973.
99. Spence JD, Parraga G. Three-dimensional ultrasound of carotid plaque. *Neuroimaging Clin N Am* 2016; 26(1): 69–80. doi: 10.1016/j.nic.2015.09.006.
100. Sibley CT, Vavere AL, Gottlieb I et al. MRI-measured regression of carotid atherosclerosis induced by statins with and without niacin in a randomised controlled trial: the NIA plaque study. *Heart* 2013; 99(22): 1675–1680. doi: 10.1136/heartjnl-2013-303926.
101. Underhill HR, Yuan C, Zhao XQ et al. Effect of rosuvastatin therapy on carotid plaque morphology and composition in moderately hypercholesterolemic patients: a high-resolution magnetic resonance imaging trial. *Am Heart J* 2008; 155(3): 584.e1–584.e8. doi: 10.1016/j.ahj.2007.11.018.
102. Yoshida K, Sadamasu N, Narumi O et al. Symptomatic low-grade carotid stenosis with intraplaque hemorrhage and expansive arterial remodeling is associated with a high relapse rate refractory to medical treatment. *Neurosurgery* 2012; 70(5): 1143–1150. doi: 10.1227/NEU.0b013e31823fe50b.
103. Yoshimura S, Yamada K, Kawasaki M et al. Selection of carotid artery stenting or endarterectomy based on magnetic resonance plaque imaging reduced periprocedural adverse events. *J Stroke Cerebrovasc Dis* 2013; 22(7): 1082–1087. doi: 10.1016/j.jstrokecerebrovasdis.2012.07.018.
104. Mizoguchi M, Tahara N, Tahara A et al. Pioglitazone attenuates atherosclerotic plaque inflammation in patients with impaired glucose tolerance or diabetes: a prospective, randomized, comparator-controlled study using serial FDG PET/CT imaging study of carotid artery and ascending aorta. *JACC Cardiovasc Imaging* 2011; 4(10): 1110–1118. doi: 10.1016/j.jcmg.2011.08.007.
105. Tawakol A, Fayad ZA, Mogg R et al. Intensification of statin therapy results in a rapid reduction in atherosclerotic inflammation: results of a multicenter fluorodeoxyglucose-positron emission tomography/computed tomography feasibility study. *J Am Coll Cardiol* 2013; 62(10): 909–917. doi: 10.1016/j.jacc.2013.04.066.
106. Della-Morte D, Moussa I, Elkind MS et al. The short-term effect of atorvastatin on carotid plaque morphology assessed by computer-assisted gray-scale densitometry: a pilot study. *Neuro Res* 2011; 33(9): 991–994. doi: 10.1179/1743132811Y.00000000039.
107. Kadoglou NP, Sailer N, Moumtzouoglou A et al. Aggressive lipid-lowering is more effective than moderate lipid-lowering treatment in carotid plaque stabilization. *J Vasc Surg* 2010; 51(1): 114–121. doi: 10.1016/j.jvs.2009.07.119.
108. Deyama J, Nakamura T, Takishima I et al. Contrast-enhanced ultrasound imaging of carotid plaque neovascularization is useful for identifying high-risk patients with coronary artery disease. *Circ J* 2013; 77(6): 1499–1507.
109. Bar M, Roubec M, Farana R et al. Inter-rater reliability of carotid atherosclerotic plaque quantification by 3-dimensional sonography. *J Ultrasound Med* 2014; 33(7): 1273–1278. doi: 10.7863/ultra.33.7.1273.
110. Ainsworth CD, Blake CC, Tamayo A et al. 3D ultrasound measurement of change in carotid plaque volume: a tool for rapid evaluation of new therapies. *Stroke* 2005; 36(9): 1904–1909. doi: 10.1161/01.STR.0000178543.19433.20.
111. Noyes AM, Thompson PD. A systematic review of the time course of atherosclerotic plaque regression. *Atherosclerosis* 2014; 234(1): 75–84. doi: 10.1016/j.atherosclerosis.2014.02.007.
112. Qureshi AI, Alexandrov AV, Tegeler CH et al. Guidelines for screening of extracranial carotid artery disease: a statement for healthcare professionals from the multidisciplinary practice guidelines committee of the American Society of Neuroimaging; cosponsored by the Society of Vascular and Interventional Neurology. *J Neuroimaging* 2007; 17(1): 19–47. doi: 10.1111/j.1552-6569.2006.00085.x.
113. Truijman MT, Kooi ME, van Dijk AC et al. Plaque At RISK (PARISK): prospective multicenter study to improve diagnosis of high-risk carotid plaques. *Int J Stroke* 2014; 9(6): 747–754. doi: 10.1111/ij.12167.

Na webu csnn.eu naleznete tento text také v angličtině.



MUDr. Petra Kešnerová

Petra Kešnerová promovala na 2. LF UK v Praze v roce 2005 a již krátce po promoci se ve své klinické praxi začala specializovat na oblast iktové problematiky. Svou studijní i klinickou praxi získávala mj. na zahraničních pracovištích ve Velké Británii, Francii, Srbsku či Itálii. Od roku 2014 se stala postgraduálním studentem 2. LF UK, výzkumným členem týmu Neuro 3 v Mezinárodním centru klinického výzkumu ICRC při FNUSA v Brně a rovněž zaměstnancem Neurologické kliniky 2. LF UK a FN Motol, kde pracuje jako člen cerebrovaskulárního týmu. Předmětem jejího výzkumného zájmu je především diagnostika cévní mozkové příhody se zaměřením na neurosonologii a prevence cerebrovaskulárních onemocnění, jimž se kromě své vědecké práce věnuje i ve své ambulantní praxi. V rámci neurosonologie se podílí rovněž na řešení klinických studií, grantových projektů, i pořádání edukačních a vědeckých programů včetně mezinárodních konferencí.

Vědomostní test

1. Podíl etiologie kryptogenních iktů se předpokládá v důsledku přítomnosti nestabilního plátu s nestenózním karotickým onemocněním:

- a) až 50 % b) 50–70 %
c) cca 30 % d) cca 10 %

2. Hlavní výhodou dvouzdrojové CT oproti konvenční multidetektorové CT je:

- a) nižší dávka použitého záření
b) lepší rozlišení zobrazených struktur díky dvěma různým atenuacím záření z jedné tkáně
c) není nutnost podání kontrastní látky
d) možná subtrakce kostní tkáně, která umožňuje odlišení jednotlivých komponent plátu

3. Dynamické kontrastní CT protokoly by přinesly výhodu:

- a) odlišení stabilnějšího plátu od nestabilního při zvýšení v Hounsfieldových jednotkách (HU) od brzké do pozdní fáze
b) odlišení stabilnějšího plátu od nestabilního při snížení v HU od brzké do pozdní fáze
c) odlišení stabilnějšího plátu od nestabilního při poklesu v HU v pozdní fázi
d) lepšího zobrazení celkového povrchu plátu

4. Velký potenciál MR v diagnostice nestabilního plátu spatřujeme díky:

- a) krátkým skenovacími časům a neinvazivně
b) dokonalému rozlišení mezi zánětem a na lipidy bohatým nekrotickým jádrem (LRNC)
c) vysokému kontrastu měkkých tkání, reproducibilitě s vysokou interobservační shodou
d) eliminaci pohybových artefaktů při použití black blood protokolů

5. Kalcifikace se na MR zobrazují:

- a) záleží na typu použitých zobrazení
b) hyperintenzně
c) izointenzně
d) hypointenzně

6. Hlavní výhodou ultrazvuku oproti jiným metodám je:

- a) zobrazení v reálném čase s možností hodnocení hemodynamických parametrů a neomezená možnost opakování
b) rychlost, neinvazivita, přesnost mezi rozlišením jednotlivých komponent plátu již v B módu
c) přesné morfologické ohodnocení stupně stenózy i v oblasti kalcifikací
d) široká dostupnost a vysoká interobservační shoda

7. Analýza distribuce pixelů (pixel distribution analysis; PDA):

- a) je metodou přiřazující charakteristickou echogenitu jednotlivým komponentám aterosklerotického plátu a mapuje architekturu znaků plátu
b) odlišuje díky různým stupňům echogenity LRNC, krvácení v aterosklerotickém plátu (IPH),

- zánět a neovaskularizace plátu, a to i v jejich lokalizaci, nerozliší však přesněji velikost
c) je metodou analyzující celkovou echogenitu plátu
d) netýká se analýzy karotického plátu

8. Juxtaluminální tmavé okrsky (juxtaluminální black area; JBA) v plátu, detekovatelné na ultrazvuku, obsahují především:

- a) neovaskularizaci
b) zánětlivé okrsky
c) lipidy či tromby
d) kalcifikace

9. U echokontrastního ultrazvukového vyšetření (CEUS) byl popsán jev syčení pozdní fáze, a tento odpovídá:

- a) pozdní retenci kontrastu, který není zatím vysvětlen
b) pozdní retenci kontrastu, korelující k detekci zánětu a povrchových disrupcí plátu
c) pozdní retenci kontrastu, korelující k výskytu neovaskularizace
d) progresivní syčení kontrastní látkou, mapující neovaskularizaci

10. Pravdivé tvrzení o dynamice plátu je:

- a) k zobrazení dynamiky plátu je optimální monitorovací nástroj CEUS
b) pláty progredují max. cirkumferenciálně
c) pláty rostou v axiální rovině tepny 2,4x rychleji než v podélné
d) pláty rostou v podélné rovině tepny 2,4x rychleji než v axiální

11. Nejlepším prediktorem pro zvýšené riziko CMP, smrti, tranzitorní ischemické ataky i kardiovaskulárních příhod se při 3D ultrazvuku detekci prokázalo:

- a) TPA – total plaque area
b) TPV – total plaque volume
c) IMT – intimomediální šířka
d) TPV – total plaque vulnerability

12. Elastografie

- a) zkoumá hemodynamické síly, které působí striktně uvnitř plátu a přesně hodnotí mechanické vlastnosti deformabilní části plátu
b) nazývá se rovněž pulzní viskoelastické deformační monitorování
c) data jsou získávána v longitudinální i axiální rovině za použití radiofrekvence či B-obrazu
d) u této metody nestabilní pláty vykázaly vysokou homogenitu

13. Kombinace detekce MES spolu s nálezem hypoechogenního plátu:

- a) umožňuje významně zlepšenou predikci rizika než jen za použití každé metody samostatně
b) roční riziko pro ischemickou CMP bylo u takto vysoce rizikových nálezů 10 % oproti skupině s nízkým rizikem < 5 % ročně
c) roční riziko pro ischemickou CMP bylo u takto vysoce rizikových nálezů 8 % oproti skupině s nízkým rizikem < 2 % ročně
d) nepřináší významnější benefit

14. Fenomén pseudoenhancementu:

- a) lze spolehlivě eliminovat nastavením přístroje
b) může vést k nadhodnocení nálezů na vzdálenější cévní stěně díky zvýšenému signálu cévní stěny více vzdálené k sondě
c) může vést k nadhodnocení nálezů na bližší cévní stěně díky zvýšenému signálu cévní stěny bližší k sondě
d) může vést k nadhodnocení nálezů v důsledku přesycení kontrastní látkou

15. CEUS zlepšuje ultrazvukovou detekci především:

- a) neovaskularizace a zánětu
b) lumenálního povrchu plátu a lipidů
c) lumenálního povrchu plátu a trombů
d) měření TPV

16. O ultrazvuku plati:

- a) intra- i interobservační shoda je v porovnání s CT lepší
b) těžce kalcifikované pláty jsou lépe hodnotitelné než na CT
c) v B obraze je nízké rozlišení mezi IPH a LRNC
d) v detekci ulcerací je US velmi dobře senzitivní

17. Volumetrie plátu:

- a) se provádí při 2D vyšetření
b) se provádí při 3D vyšetření
c) se provádí při CEUS vyšetření
d) je nesmysl

18. Intravaskulární ultrazvuk (IVUS):

- a) je běžně dostupný v klinické praxi
b) používá rozmezí frekvencí 4–14 MHz
c) je prováděn při běžném karotickém stentingu
d) je metodou vyžadující katetrizační přístup

19. Po zavedení best medical treatment (BMT):

- a) progreduje přibližně 50 % plátů, zatímco asi 25 % plátů regreduje
b) progreduje přibližně 25 % plátů, zatímco až 50 % plátů je stabilních
c) progreduje přibližně 10 % plátů, zatímco většina regreduje
d) nemá efekt na stabilitu plátu

20. K zobrazení všech nestabilních znaků karotického plátu současně:

- a) nám v současnosti stačí US a jeho modality
b) je nutné využití kombinace CT a MR
c) nemůže vzhledem k odlišné patofyziologii jednotlivých mechanismů nestabilních znaků plátu nikdy dojít
d) v současnosti neexistuje jediná zobrazovací modalita, která by bezpečně zobrazila všechny nestabilní znaky plátu

Správně je vždy jedna odpověď!

Test můžete vyplnit na:

WWW.CSNN.EU